



AVR

VENTILADORES AXIALES



Soler&Palau
Ventilation Group

índice

CONTENIDO

- 04** Generalidades sobre ventiladores
- 05** Generalidades sobre las curvas características
- 06** Ventiladores AVR
- 07** Nomenclatura
- 08** Preselección
- 10 - 48** Curvas Características
- 49** Dimensiones AVR
- 50 - 51** Accesorios

Generalidades sobre ventiladores

Fundamentos

Un ventilador es una máquina rotatoria cuya misión es asegurar la circulación del aire con presiones de hasta 30.000 mm c.d.a. Se clasifican en dos grupos genéricos: *centrífugos* y *axiales*. En los primeros la corriente de aire se establece radialmente a través del turbina, en los segundos esta corriente se establece axialmente.

A su vez, los ventiladores axiales se pueden clasificar en:

- a) tuboaxiales;
- b) vaneaxiales
- c) axiales

Pueden estar equipados con dos tipos de hélices:

- a) hélice con álabes de ángulo fijo;
- b) hélice con álabes de ángulo variable.

Los ventiladores objeto de este catálogo pertenecen al grupo de los tuboaxiales, de baja presión, con hélice de álabes de ángulo fijo, en perfil airfoil.

Definiciones

-Caudal del aire: Es el volumen de aire movido por un ventilador en la unidad de tiempo, independiente a la densidad del aire.

-Presión estática (Pst): Es la fuerza por unidad de superficie ejercida en todas las direcciones y sentidos, independientemente de la dirección y sentido de la velocidad del aire.

-Presión dinámica (Pd): Es la presión resultante de la transformación integral de la energía cinética en presión.

Viene expresada por:

$$P_d = \frac{\rho V^2}{2g} \text{ (kg/m}^2\text{)}$$

Siendo:

r= densidad del aire en kg/m³

g= aceleración de la gravedad(9,81m/s²)

V= velocidad del aire en m/s

-Presión total (Pt): Es la suma de las presiones, estática y dinámica. Según el teorema de Bernoulli, la presión total es constante en todos los puntos de un conducto. Tal teorema sólo es aplicable en el caso de un fluido perfecto (o sea, libre de fricción y turbulencia), e incompresible, que pueda ser tratado como tal. Aún en la práctica no existen fluidos perfectos ni canalizaciones sin fricción, esta ley se puede aplicar con buena aproximación, y nos permite deducir que la presión dinámica transformase en presión estática y viceversa, cuando se producen cambios en la sección de un conducto. Esta transformación trae una pérdida de presión, directamente proporcional a la variación de velocidad.

Medida de Presiones

La medida de presiones en un conducto debe efectuarse en un tramo de régimen estable (alejado de cambios de sección, curvas, etc.)

La presión dinámica se mide con un tubo de Pitot o un tubo de Prandtl, conectado a un manómetro diferencial.

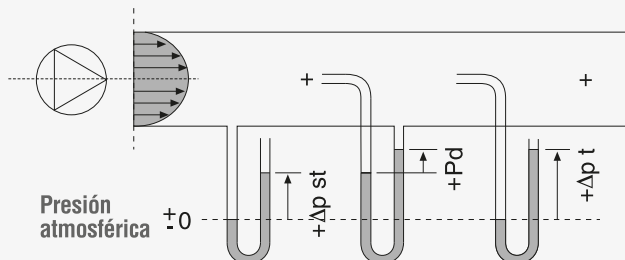
El tubo de Prandtl es el más utilizado, ya que permite también la medición de la presión estática.

No se puede olvidar diferenciar los conductos de aspiración y descarga, ya que, así como la presión dinámica es siempre positiva, la presión estática es negativa en la aspiración y positiva en la descarga, siendo la presión total la suma algebraica de ambas.

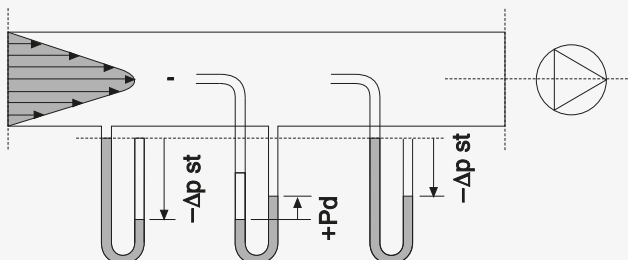
Es conveniente tener igualmente en cuenta, para la medida de presiones dinámicas, y consecuentemente del caudal de aire, que estas son más bajas cercanas a la pared del conducto que en el centro del mismo, este fenómeno es más pronunciado en régimen turbulento.

En la figura a seguir están representadas las curvas de distribución de velocidades de ambos regímenes, donde se puede apreciar lo antes explicado.

Flujo turbulento



Flujo laminar



Generalidades sobre las curvas características

Curvas características

Las curvas características fueron determinadas para el aire a temperatura de 20°C y una presión barométrica de 760 mmHg; equivalente a una densidad de 1,2 kg/m³. Cualquier variación de estos valores implica la utilización de los coeficientes de corrección indicados en la *Tabla 1*.

Ejemplo de aplicación:

Según las leyes de los ventiladores relativas a la variación de la densidad del aire, tenemos:

- a) Caudal en volumen permanece invariable

$$V_1 = V_2$$

- b) La presión y la potencia absorbida, para un mismo caudal, son proporcionales a la densidad.

$$\Delta p_t_2 = \Delta p_t_1 \cdot y_2 / y_1$$

$$P_{A2} = P_{A1} \cdot y_2 / y_1$$

Así que si necesitamos un ventilador que proporcione un caudal de aire de 12,000 m³/h con una presión total de 50 mmca, situado en un lugar a 1,500m encima del nivel del mar y a una temperatura de 38°C, procederemos de la siguiente forma:

- De la tabla no.1 obtenemos el coeficiente de corrección, que es de 0.785.
- Seleccionamos un ventilador para 12,000 m³/h y una presión de 50 / 0.785 = 64 mmca.
- La potencia real absorbida será equivalente a la potencia absorbida leída en las curvas, multiplicada por 0.785.

Fórmulas relativas a los ventiladores centrífugos

Leyes de proporcionalidad

Indicamos a continuación las leyes de proporcionalidad de los ventiladores centrífugos, que, aunque teóricas, se pueden aplicar con suficiente precisión a las condiciones reales.

Tabla 1

| Temperatura del aire °C | Nivel del mar | ELEVACIÓN SOBRE EL NIVEL DEL MAR (m) | | | | | | | | |
|-------------------------|---------------|--------------------------------------|-------|-------|-------|-------|-------|-------|-------|-------|
| | | 300 | 450 | 600 | 750 | 900 | 1200 | 1500 | 1800 | 2100 |
| | 760 | 735 | 720 | 705 | 695 | 680 | 655 | 630 | 610 | 585 |
| -40 | 1.234 | 1.191 | 1.170 | 1.150 | 1.128 | 1.105 | 1.066 | 1.028 | 0.987 | 0.956 |
| -18 | 1.152 | 1.110 | 1.092 | 1.072 | 1.052 | 1.033 | 0.950 | 0.957 | 0.922 | 0.894 |
| 0 | 1.082 | 1.043 | 1.024 | 1.005 | 0.990 | 0.970 | 0.934 | 0.900 | 0.865 | 0.838 |
| 20 | 1.000 | 0.964 | 0.947 | 0.930 | 0.913 | 0.896 | 0.864 | 0.832 | 0.799 | 0.774 |
| 38 | 0.946 | 0.912 | 0.895 | 0.878 | 0.863 | 0.847 | 0.816 | 0.785 | 0.755 | 0.732 |
| 66 | 0.869 | 0.833 | 0.824 | 0.807 | 0.793 | 0.779 | 0.750 | 0.722 | 0.695 | 0.672 |
| 93 | 0.803 | 0.775 | 0.760 | 0.747 | 0.733 | 0.720 | 0.693 | 0.667 | 0.642 | 0.622 |
| 121 | 0.747 | 0.720 | 0.707 | 0.695 | 0.682 | 0.670 | 0.645 | 0.622 | 0.592 | 0.578 |
| 149 | 0.679 | 0.672 | 0.660 | 0.647 | 0.626 | 0.625 | 0.602 | 0.579 | 0.577 | 0.540 |
| 177 | 0.654 | 0.630 | 0.620 | 0.608 | 0.597 | 0.586 | 0.564 | 0.543 | 0.522 | 0.507 |
| 205 | 0.616 | 0.594 | 0.583 | 0.572 | 0.562 | 0.552 | 0.532 | 0.512 | 0.482 | 0.477 |

Para un ventilador es un conjunto de datos, con aire a densidad constante, tenemos:

Caudal

$$V_2 = V_1 \frac{n_2}{n_1}$$

Presión

$$\Delta p_t_2 = \Delta p_t_1 \left(\frac{n_2}{n_1} \right)^2$$

Potencia absorbida

$$P_{A2} = P_{A1} \left(\frac{n_2}{n_1} \right)^3$$

Rendimiento, potencia absorbida y potencia instalada.

El rendimiento viene

Siendo:

$$\eta = \frac{V \cdot \Delta p_t}{P_A}$$

V = caudal en m³/s

Δpt = presión total en Pa (N/m²)

P_A = potencia absorbida en W (Nm/s)

Para tener en cuenta las unidades utilizadas correctamente, a saber:

- Caudal en m³/h

- Dpt en mmca

- Potencia absorbida en kW

debemos introducir una constante, quedando la formula de la siguiente forma:

$$\eta = \frac{V(m^3/h) \cdot \Delta p_t(mmca)}{367,000 \cdot P_A(kW)}$$

La potencia absorbida leída en las curvas debe ser incrementada para tener en cuenta las pérdidas de transmisión, así como una eventual sobrecarga, ésta se produce cuando el punto de funcionamiento del ventilador no coincide con el punto de proyecto.

Si la caída de presión ocasionada por el sistema, para el caudal de proyecto, fuera inferior a la prevista, el punto de trabajo se dislocaría a la derecha, siguiendo la curva de velocidad de rotación impuesta por la transmisión, siendo la potencia absorbida, en este caso, superior a la prevista. Teniendo en cuenta lo que fue explicado, es aconsejable incrementar la potencia absorbida en 20%, para seleccionar adecuadamente el motor a instalar.



Ventiladores AVR



Versátiles y
compactos.

Los ventiladores axiales de la línea AVR, tienen característica de carga limitada y se los fabrica en diferentes tamaños. Su hélice tiene álabes en perfil airfoil, con ángulo variable (ángulo de los álabes es ajustable en reposo) y fue proyectada para obtener un elevado rendimiento aunado a excelentes características de desempeño. Versátiles y compactos, su peso es reducido en comparación a los ventiladores centrífugos de características equivalentes, posibilitando reducción en los costos de instalación, eliminando problemas de espacio, y permitiendo, a través de un simple cambio de ángulo, compensar eventuales modificaciones en el proyecto de un sistema.

Aplicaciones

Especialmente para aplicación en sistemas de ventilación, extracción, renovación, circulación forzada, calefacción, refrigeración, enfriamiento, humidificación o deshumidificación de aire, por ejemplo; plataformas de perforación o extracción de petróleo, minas, túneles y otras aplicaciones.

Desempeño

- Trabaja con aire o gases limpios o contaminados con polvo fino.
- Alcanza caudales de hasta 400,000 m³/h.
- Alcanza presiones estáticas de hasta 120 mmca.
- Niveles de velocidad de vibración, en operación, inferiores a 6 mm/s.
- Alcanza rendimiento total de hasta 78%.

Características constructivas

Carcasa: Construcción AL: carcasa tubular cubre totalmente la hélice y el motor.

Hélice: Es fundida en aluminio y balanceada estática y dinámicamente en maquina de alta sensibilidad. Proporciona elevado desempeño gracias al desarrollo de un perfil airfoil adecuado y al número variable de álabes, de acuerdo al tamaño del ventilador. Una amplia versatilidad de aplicación le es conferida por la posibilidad de ajuste de los álabes en diferentes ángulos de posición. Esta característica permite la utilización de este ventilador en acomplamiento directo. El sentido de rotación de la hélice puede ser invertido, resultando en un caudal 40% menor que el nominal.

Motores: Los ventiladores AVR son entregados con motores trifásicos totalmente cerrados con ventilación externa, aislamiento, Clase B, F, H, E, en la construcción estándar del fabricante. Otros tipos de motores pueden ser suministrados, bajo consulta, inclusive a prueba de explosión, de alto rendimiento.



Accesorios

Contrabridas: Suministrados para ambos lados del ventilador, se fabrican en acero SAE 1010, facilitando la conexión a conductos o piezas de transición.

Malla de protección: Fabricada con rejilla galvanizada, proporciona seguridad de operación contra cualquier accidente o eventual entrada de objetos extraños.

Puerta de inspección: Ubicada al lado de la caja de conexiones del motor, está fijada por tornillos, en la construcción estándar. Permite fácil acceso a las conexiones eléctricas, inspección y mantenimiento del equipo. Especialmente útil para ventiladores montados entre conductos. Construcciones especiales con bisagras, cierre rápido, etc., bajo consulta.

Ojales de izado (cáncamo): Soldados rigidamente a la carcasa del ventilador, facilitan su transporte e instalación, principalmente en lugares elevados, evitando daños debido a una inadecuada fijación de la suspensión y proporcionando seguridad a los trabajadores.

Conexiones flexibles: Impiden la transmisión de vibraciones y esfuerzos del ventilador para los conductos y viceversa. Están construidas en acero SAE 1010 y lona flexible, en la construcción estándar. Pueden trabajar a temperaturas de hasta 60° C.

Cono de aspiración: Se debe utilizar cuando el ventilador esté ubicado en la entrada de un sistema, a fin de que este alcance las características de desempeño definidas en curvas y tablas. Se lo fabrica con rejilla de protección galvanizada.

Soportes de montaje horizontal: Suministrados a los pares, facilitan la instalación del ventilador en el piso. Atornillados a las bridas del equipo, se pueden utilizar con amortiguadores de vibraciones.

Caja de conexión: Instalada externamente a la carcasa, se la suministrada con Placa de Bornes, simplificando las conexiones eléctricas entre el motor y la red, principalmente para ventiladores montados entre conductos. La unión entre el motor y la caja de conexiones se hace a través de cable protegido por electroducto flexible. No esta incluido prensacables a la salida de la caja de conexiones.



Preselección

Introducción

Proyectados para atender las más diversas especificaciones, los ventiladores S&P modelo AVR, con hélices en álabes de perfil airfoil orientables en reposo, se ofrecen en 15 diferentes tamaños estandarizados alcanzando caudales de aire de hasta 400,000 m³/h y presiones estáticas de hasta 120 mmca.

Versátiles y compactos, su peso es pequeño en comparación a los ventiladores centrífugos de características equivalentes posibilitando estructuras y soportes más livianos reduciendo costos de instalación, eliminando problemas de espacio además de permitir, a través de un simple cambio de ángulo, compensar eventuales modificaciones en el proyecto de un sistema.

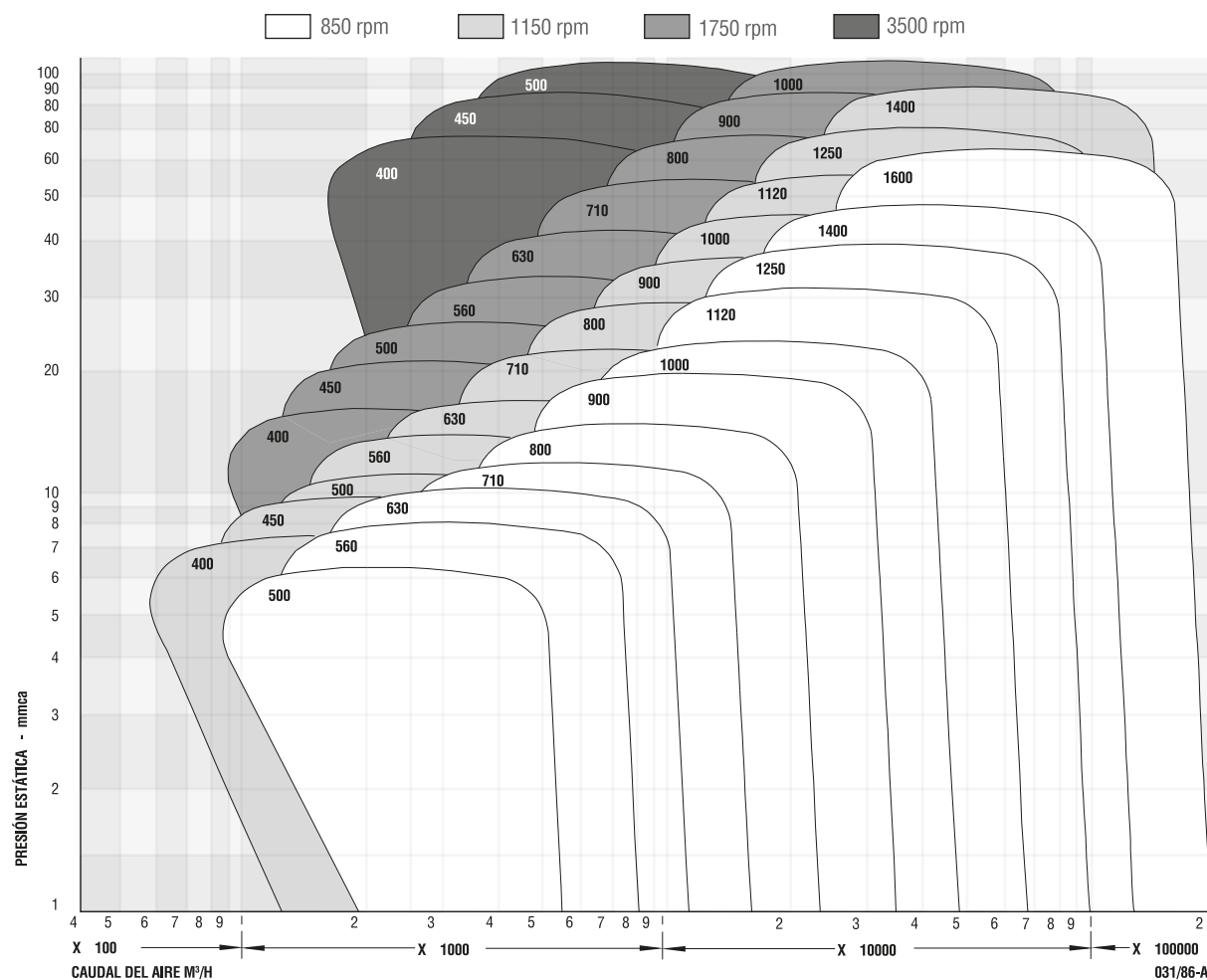
Permiten montaje vertical, horizontal o inclinado en pisos, paredes o techos y suministrados completamente armados y ajustados para inmediato funcionamiento. Una amplia variedad de tipos constructivos y accesorios los vuelve adecuados para las siguientes aplicaciones:

- aire acondicionado
- industria naval
- industria de minería
- ventilación de túneles
- ventilación ambiental
- torres de refrigeración
- eliminación de humos, gases, etc.

Diagrama de preselección

El diagrama de abajo permite una rápida visualización del diámetro del ventilador requerido.

La selección definitiva deberá hacerse comparando las curvas características de los modelos **preseleccionados**.



Nomenclatura

Los ventiladores axiales S&P son definidos por los siguientes grupos de letras o números:

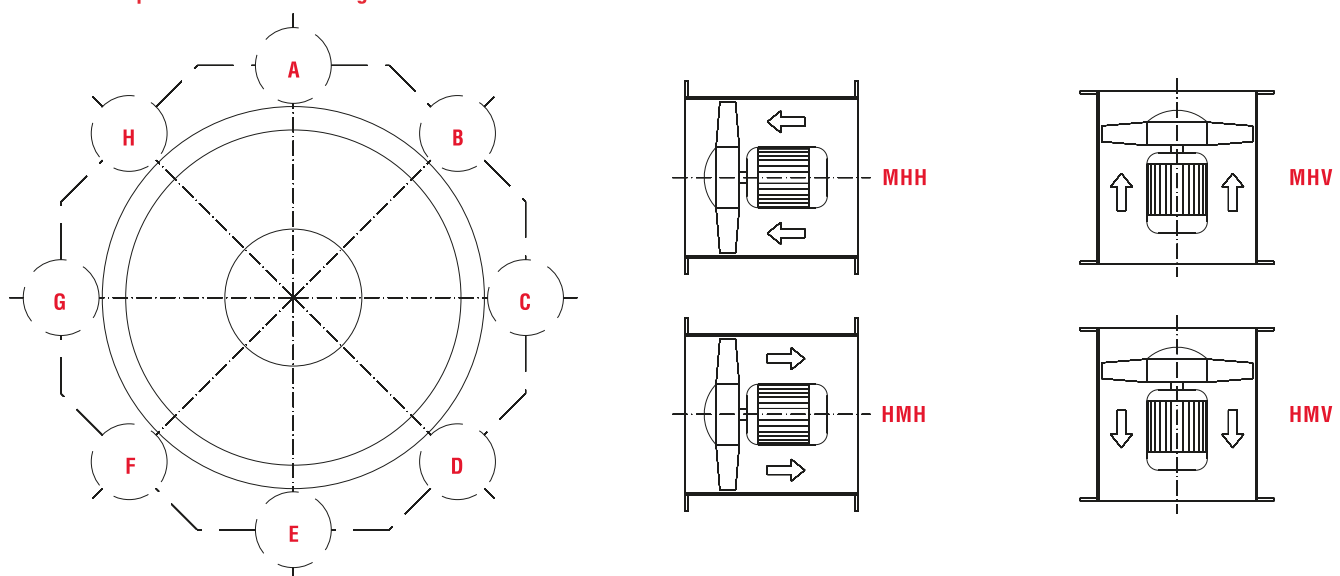


Observación: En las condiciones HM, el ventilador debe tener un cono o un conducto de largo, por lo menos, dos veces su diámetro, en la aspiración, de forma que alcance las características definidas en las curvas y tablas.

Posición de motores

Las posiciones de los motores, soporte, puertas de inspección, etc., son determinados por la vista referente a la descarga del ventilador. Puede ser suministrados con soportes para colocación en el piso, pared o el techo. La posición de este soporte determina la adecuada ubicación del motor. Cables a la salida de la caja de conexiones.

Vista por el lado de la descarga

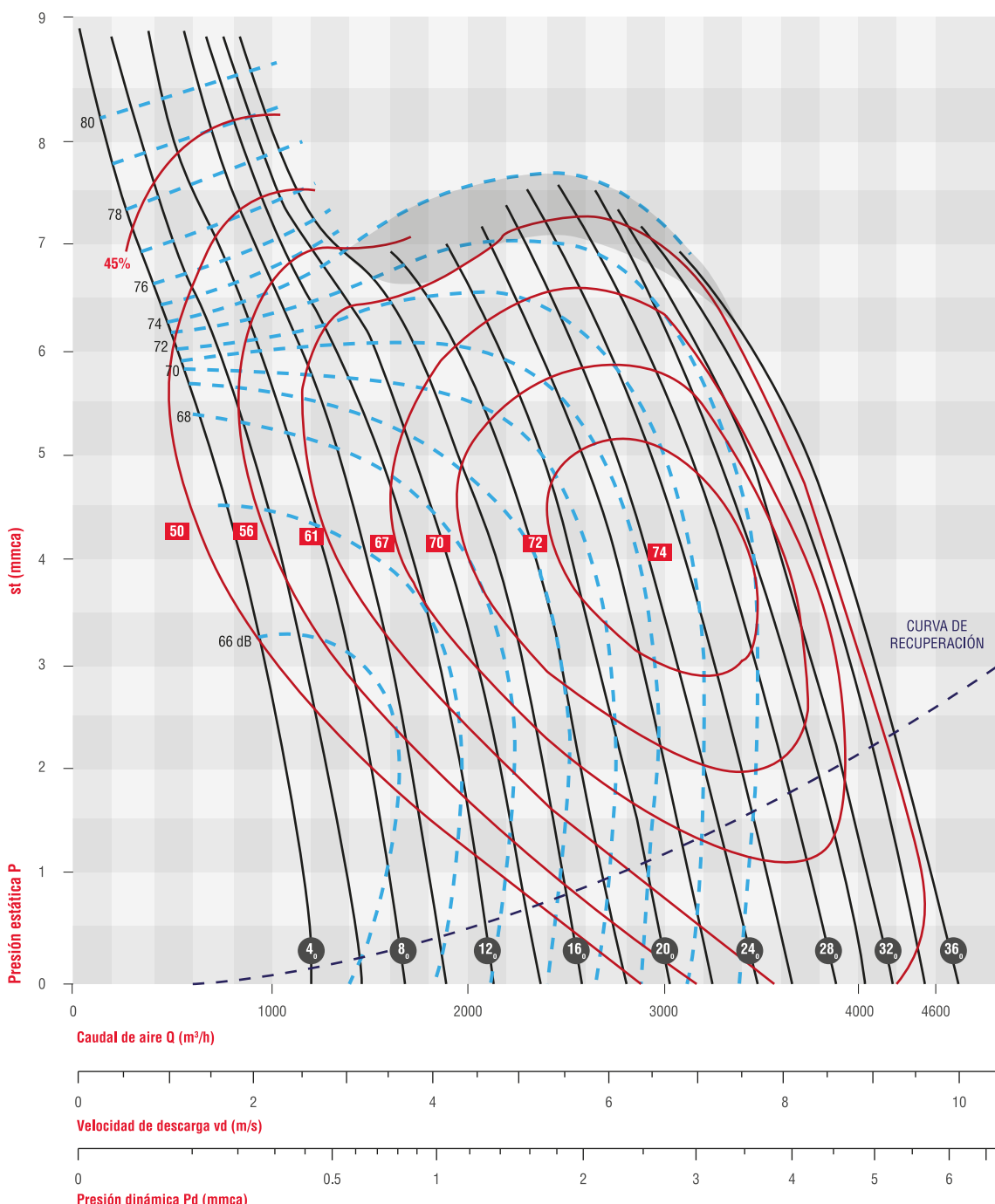




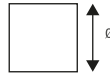
curvas
CARACTERÍSTICAS

AVR 400 - 1150 RPM

No selecciones en esta zona

 $\delta = 1,205 \text{ kg/m}^3$
**Ángulo de los álabes**

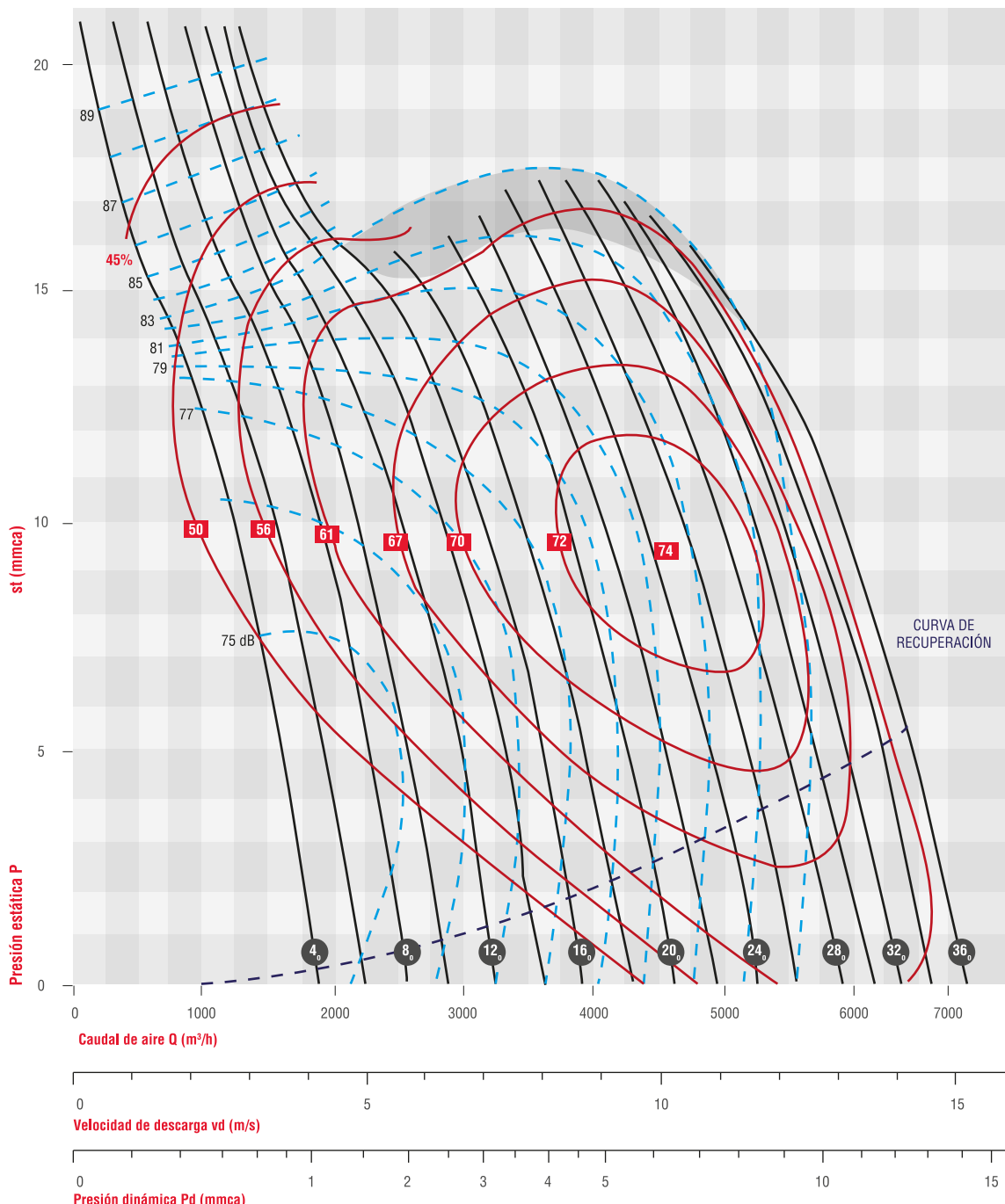
Diámetro de la hélice D = 394 mm

Momento de inercia GD₂ = 0,26 kg.m² $\varnothing = 400\text{mm}$ $A = 0,126 \text{ m}^2$



AVR 400 - 1750 RPM

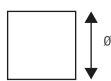
No selecciones en esta zona

 $\delta = 1,205 \text{ kg/m}^3$ 

Potencia absorbida máxima (hp)

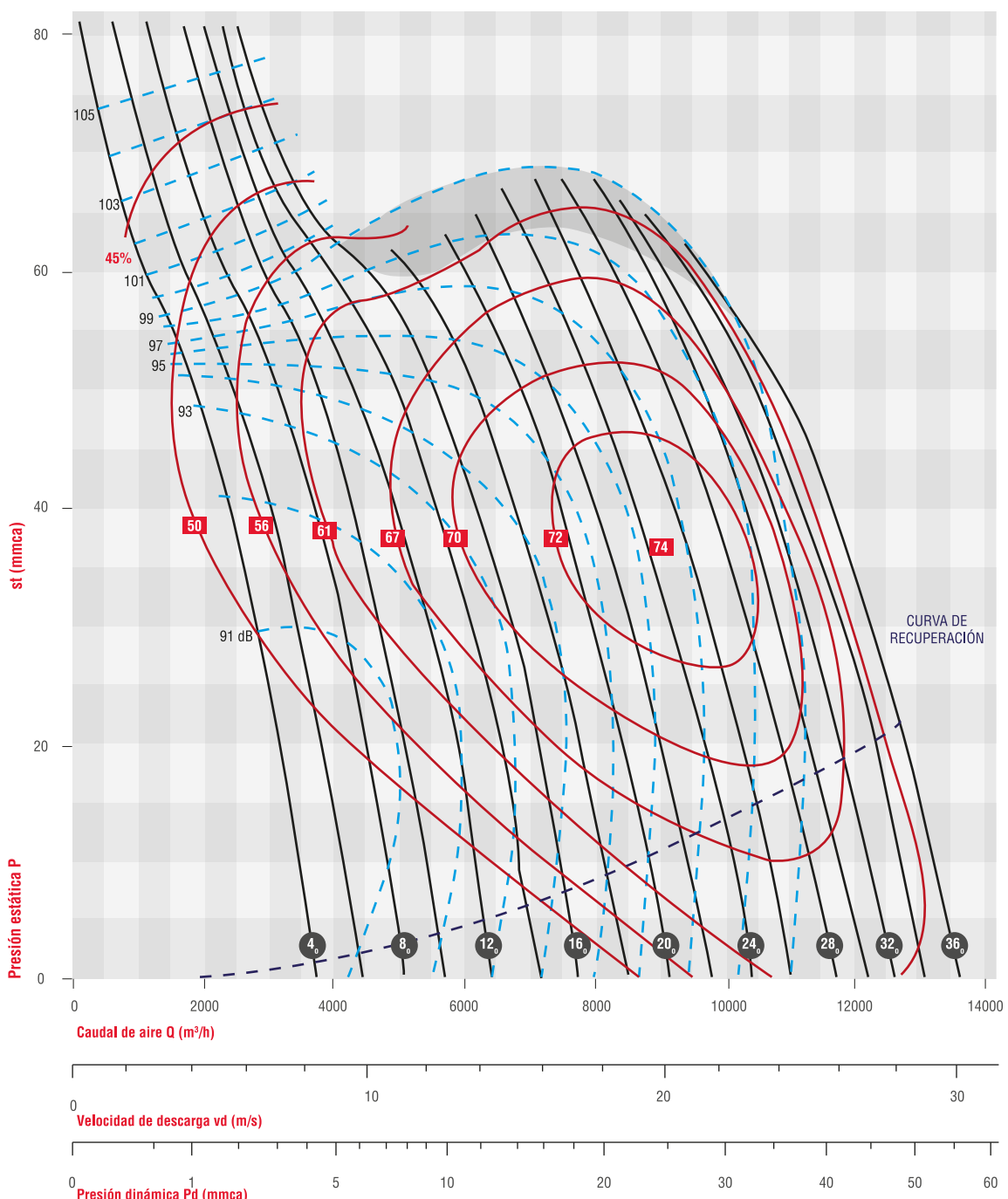
| | | | | | | | | | | | | | | | | |
|------|------|------|------|------|------|------|------|------|------|------|------|------|------|------|------|------|
| 0,10 | 0,11 | 0,13 | 0,15 | 0,19 | 0,22 | 0,24 | 0,28 | 0,31 | 0,35 | 0,40 | 0,44 | 0,48 | 0,53 | 0,58 | 0,63 | 0,68 |
| 4 | 6 | 8 | 10 | 12 | 14 | 16 | 18 | 20 | 22 | 24 | 26 | 28 | 30 | 32 | 34 | 36 |

Ángulo de los álabes

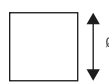
Diámetro de la hélice $D = 394 \text{ mm}$ Momento de inercia $GD^2 = 0,26 \text{ kg.m}^2$  $\theta = 400\text{mm}$ $A = 0,126 \text{ m}^2$

AVR 400 - 3450 RPM

No selecciones en esta zona

 $\delta = 1,205 \text{ kg/m}^3$
Soler&Palau
Ventilation Group


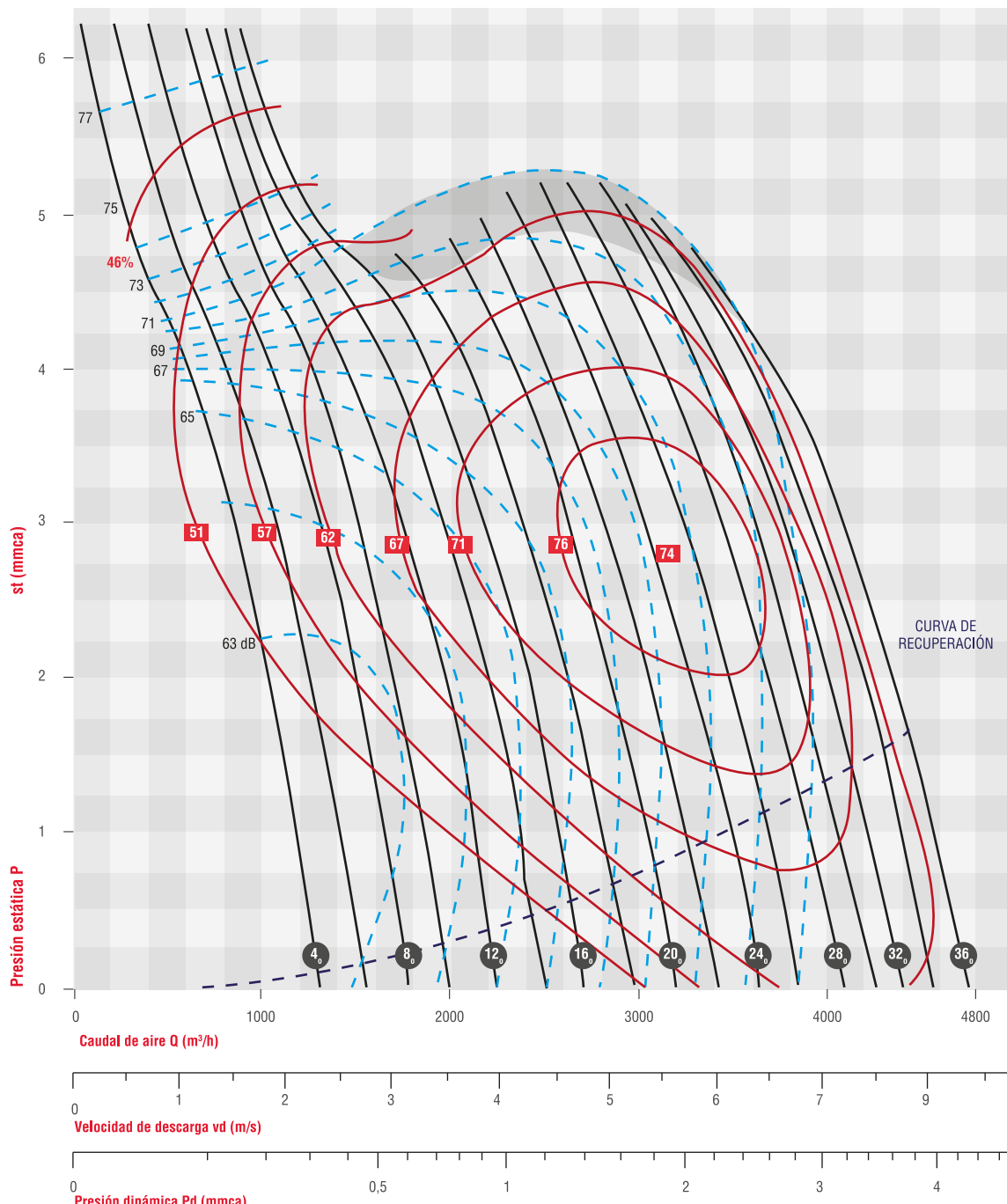
Diámetro de la hélice D = 394 mm

Momento de inercia GD₂ = 0,26 kg.m² $\varnothing = 400\text{mm}$ $A = 0,126 \text{ m}^2$



AVR 450 - 850 RPM

No selecciones en esta zona

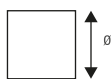
 $\delta = 1,205 \text{ kg/m}^3$ 

Potencia absorbida máxima (hp)

| | | | | | | | | | | | | | | | | |
|-------|-------|-------|-------|-------|-------|-------|-------|-------|-------|-------|-------|-------|-------|-------|-------|-------|
| 0,021 | 0,023 | 0,028 | 0,032 | 0,038 | 0,045 | 0,049 | 0,057 | 0,064 | 0,072 | 0,083 | 0,091 | 0,100 | 0,108 | 0,119 | 0,130 | 0,140 |
| 4 | 6 | 8 | 10 | 12 | 14 | 16 | 18 | 20 | 22 | 24 | 26 | 28 | 30 | 32 | 34 | 36 |

Ángulo de los álabes

Diámetro de la hélice D = 444 mm

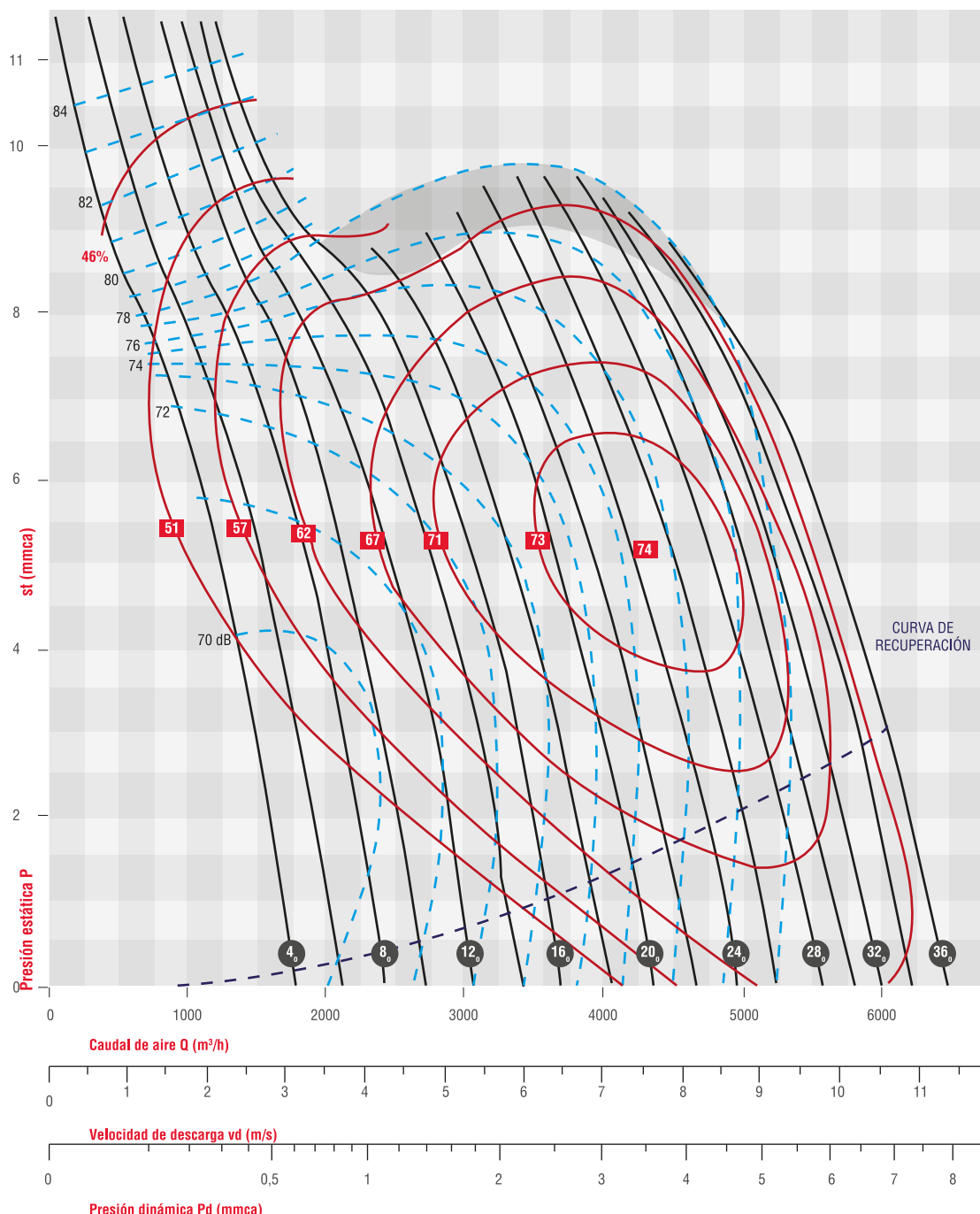
Momento de inercia GD2 = 0,41 kg.m² $\varnothing = 450\text{mm}$ $A = 0,159 \text{ m}^2$

AVR 450 - 1150 RPM

No selecciones en esta zona

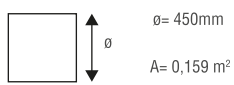
$\delta = 1,205 \text{ kg/m}^3$

Soler&Palau
Ventilation Group



Diámetro de la hélice $D = 444 \text{ mm}$

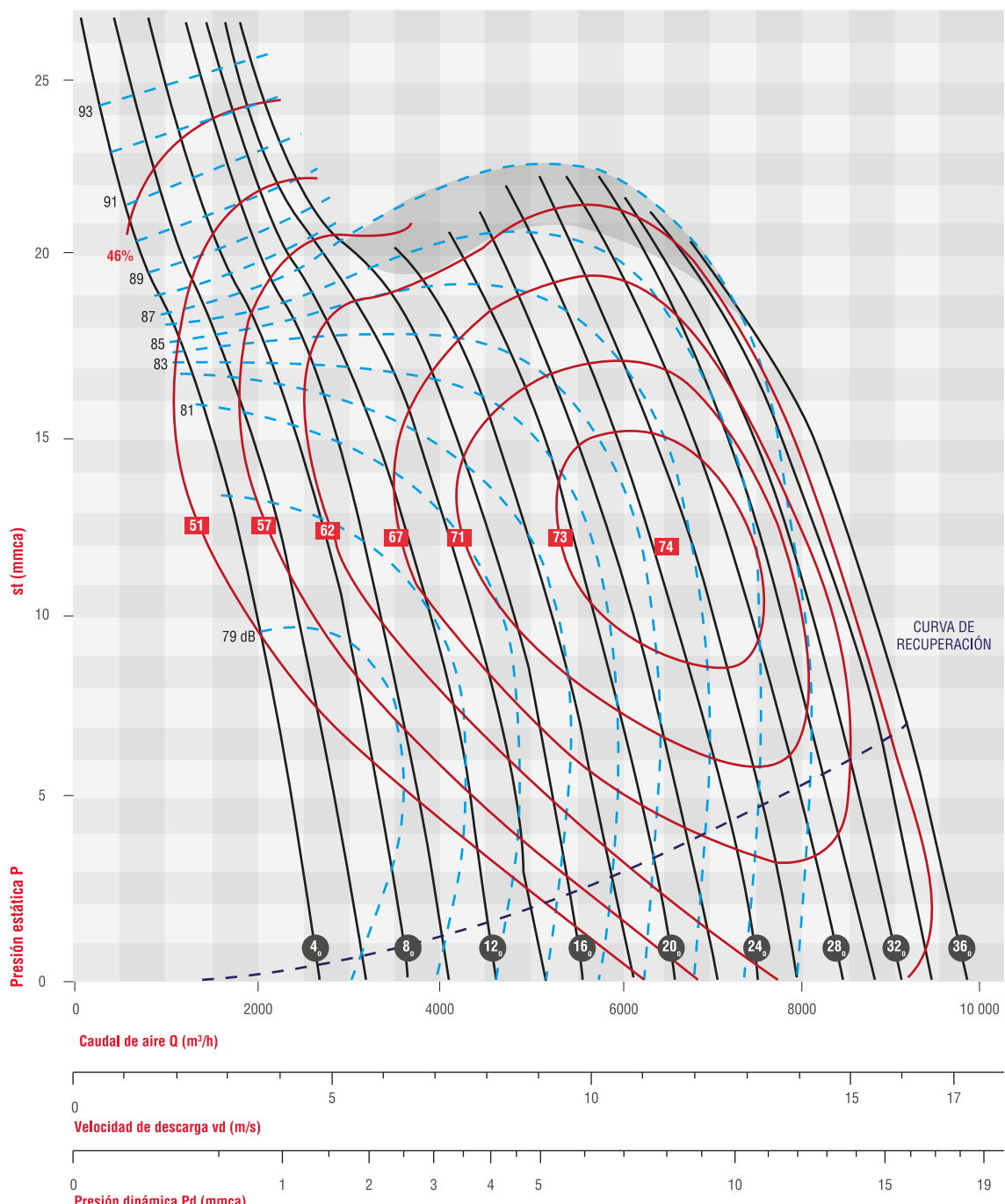
Momento de inercia $GD^2 = 0,41 \text{ kg.m}^2$





AVR 450 - 1750 RPM

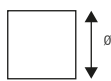
No selecciones en esta zona

 $\delta = 1,205 \text{ kg/m}^3$ **Potencia absorbida máxima (hp)**

| | | | | | | | | | | | | | | | | |
|------|------|------|------|------|------|------|------|------|------|------|------|------|------|------|------|------|
| 0,19 | 0,20 | 0,24 | 0,28 | 0,33 | 0,39 | 0,43 | 0,50 | 0,56 | 0,63 | 0,72 | 0,80 | 0,87 | 0,95 | 1,04 | 1,13 | 1,23 |
| 4 | 6 | 8 | 10 | 12 | 14 | 16 | 18 | 20 | 22 | 24 | 26 | 28 | 30 | 32 | 34 | 36 |

Ángulo de los álabes

Diámetro de la hélice D = 444 mm

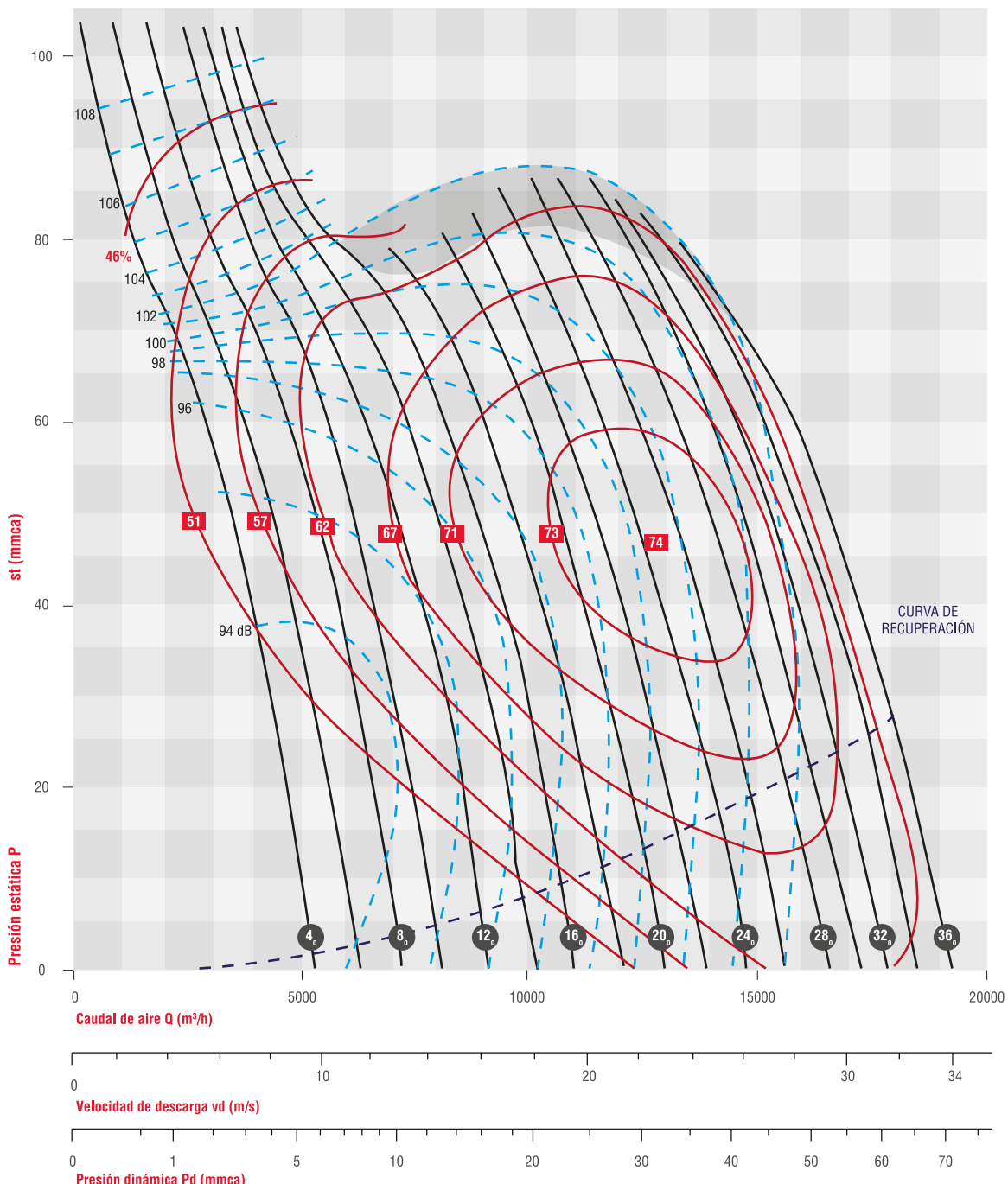
Momento de inercia GD2 = 0,41 kg.m² $\varnothing = 450\text{mm}$ $A = 0,159 \text{ m}^2$

AVR 450 - 3450 RPM

No selecciones en esta zona

$\delta = 1,205 \text{ kg/m}^3$

Soler&Palau
Ventilation Group



Potencia absorbida máxima (hp)

| | | | | | | | | | | | | | | | | |
|------|------|------|------|------|------|------|------|------|------|------|------|------|------|------|------|------|
| 1,42 | 1,56 | 1,84 | 2,12 | 2,56 | 2,98 | 3,26 | 3,83 | 4,26 | 4,83 | 5,54 | 6,11 | 6,68 | 7,25 | 7,96 | 8,67 | 9,38 |
| 4 | 6 | 8 | 10 | 12 | 14 | 16 | 18 | 20 | 22 | 24 | 26 | 28 | 30 | 32 | 34 | 36 |

Ángulo de los álabes

Diámetro de la hélice $D = 444 \text{ mm}$

Momento de inercia $GD^2 = 0,41 \text{ kg.m}^2$



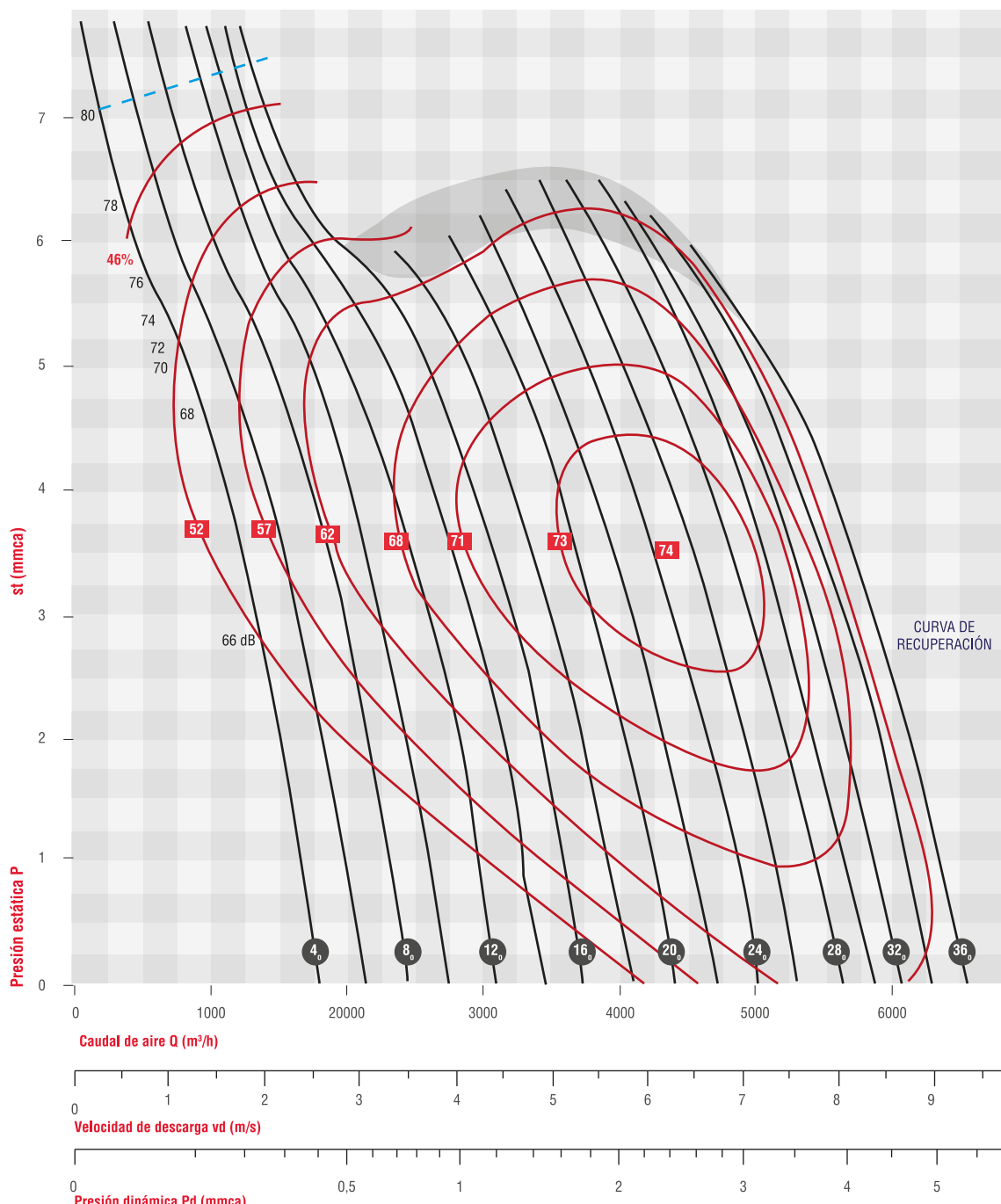
$\theta = 450\text{mm}$

$A = 0,159 \text{ m}^2$

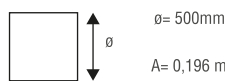


AVR 500 - 850 RPM

No selecciones en esta zona

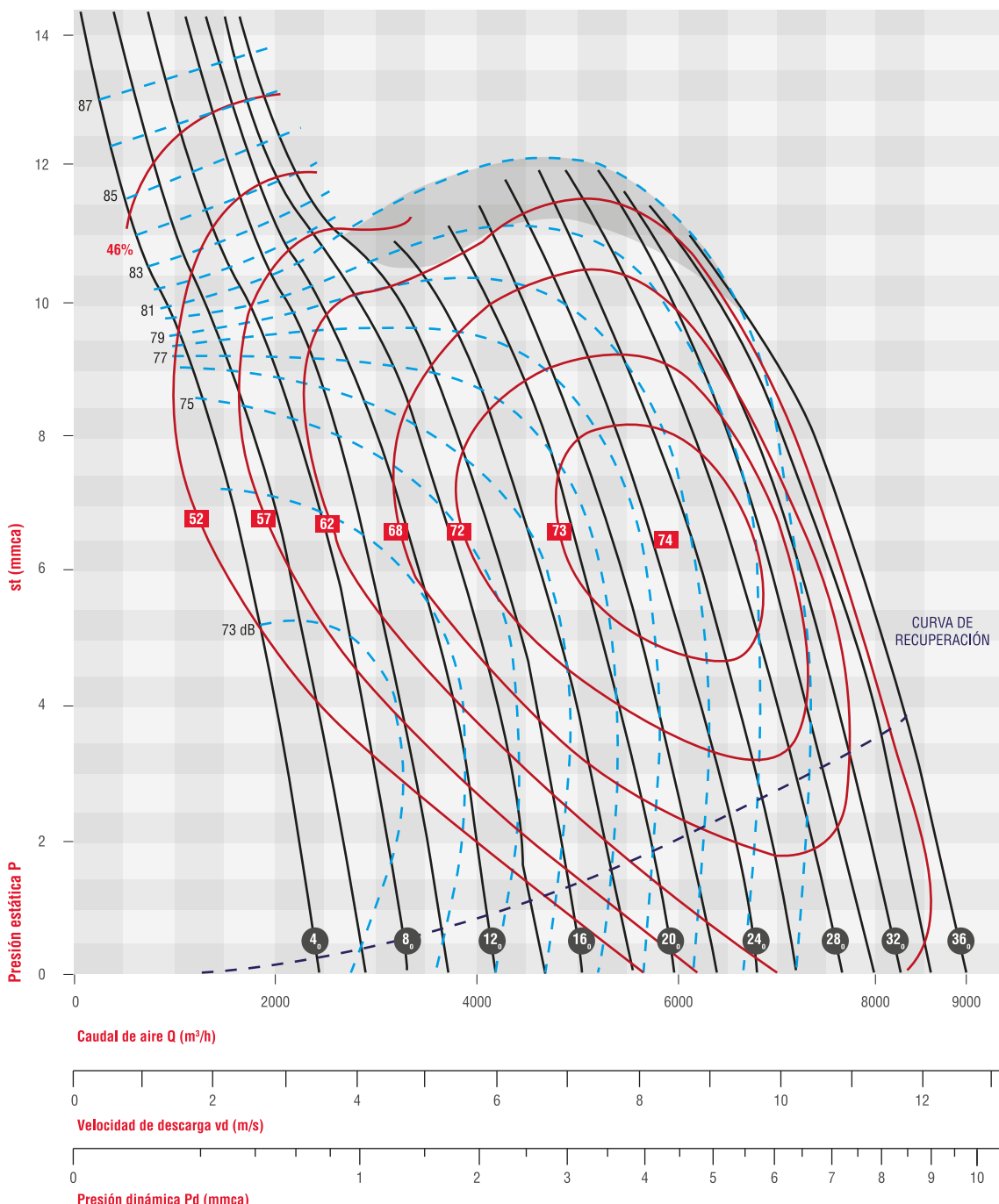
 $\delta = 1,205 \text{ kg/m}^3$ **Ángulo de los álabes**

Diámetro de la hélice D = 494 mm

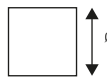
Momento de inercia GD2 = 0,62 kg.m²

AVR 500 - 1150 RPM

No selecciones en esta zona

 $\delta = 1,205 \text{ kg/m}^3$
Soler&Palau
 Ventilation Group


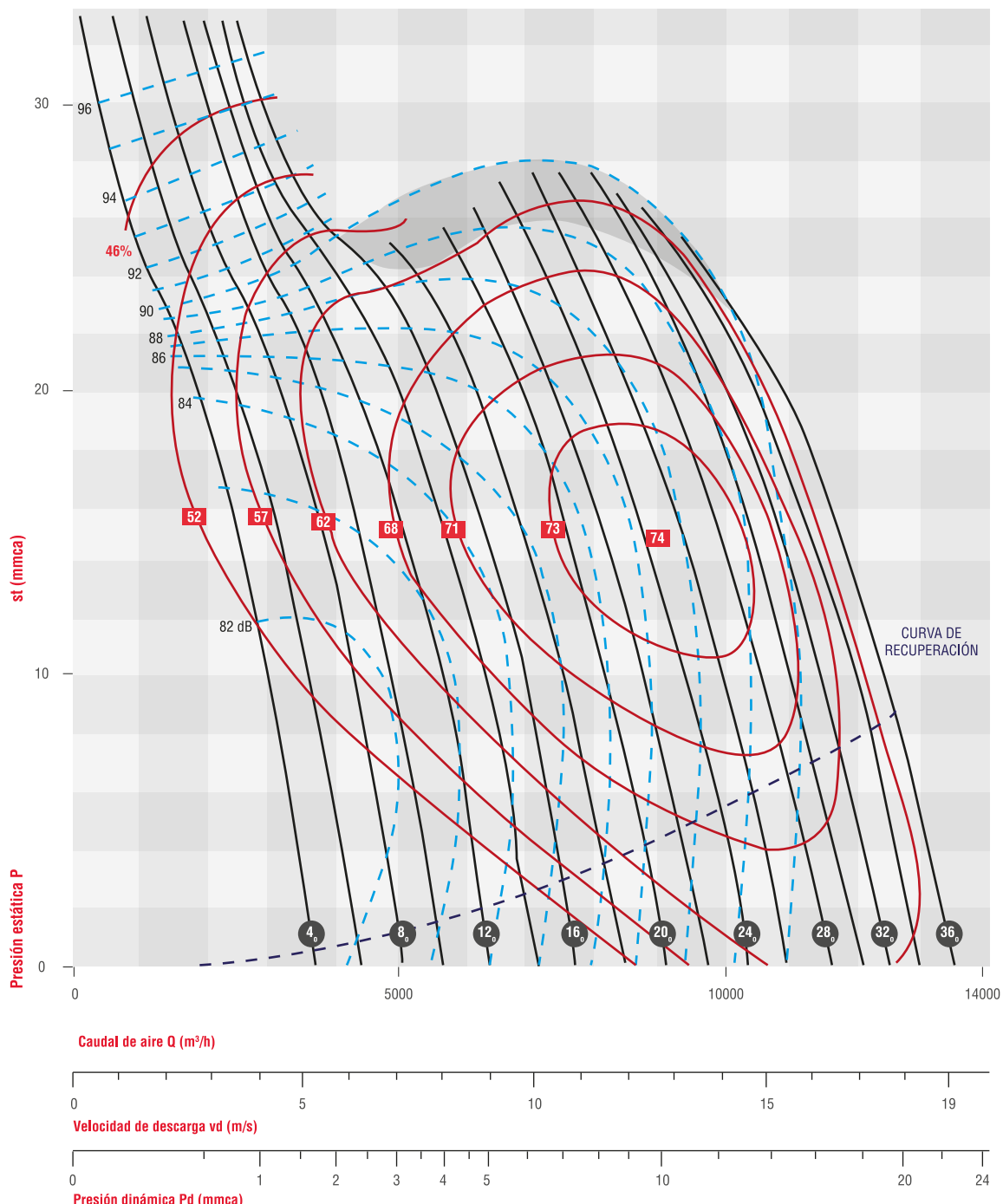
Diámetro de la hélice D = 494 mm

Momento de inercia GD2 = 0,62 kg.m² $\varnothing = 500\text{mm}$ $A = 0,196 \text{ m}^2$

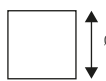


AVR 500 - 1750 RPM

No selecciones en esta zona

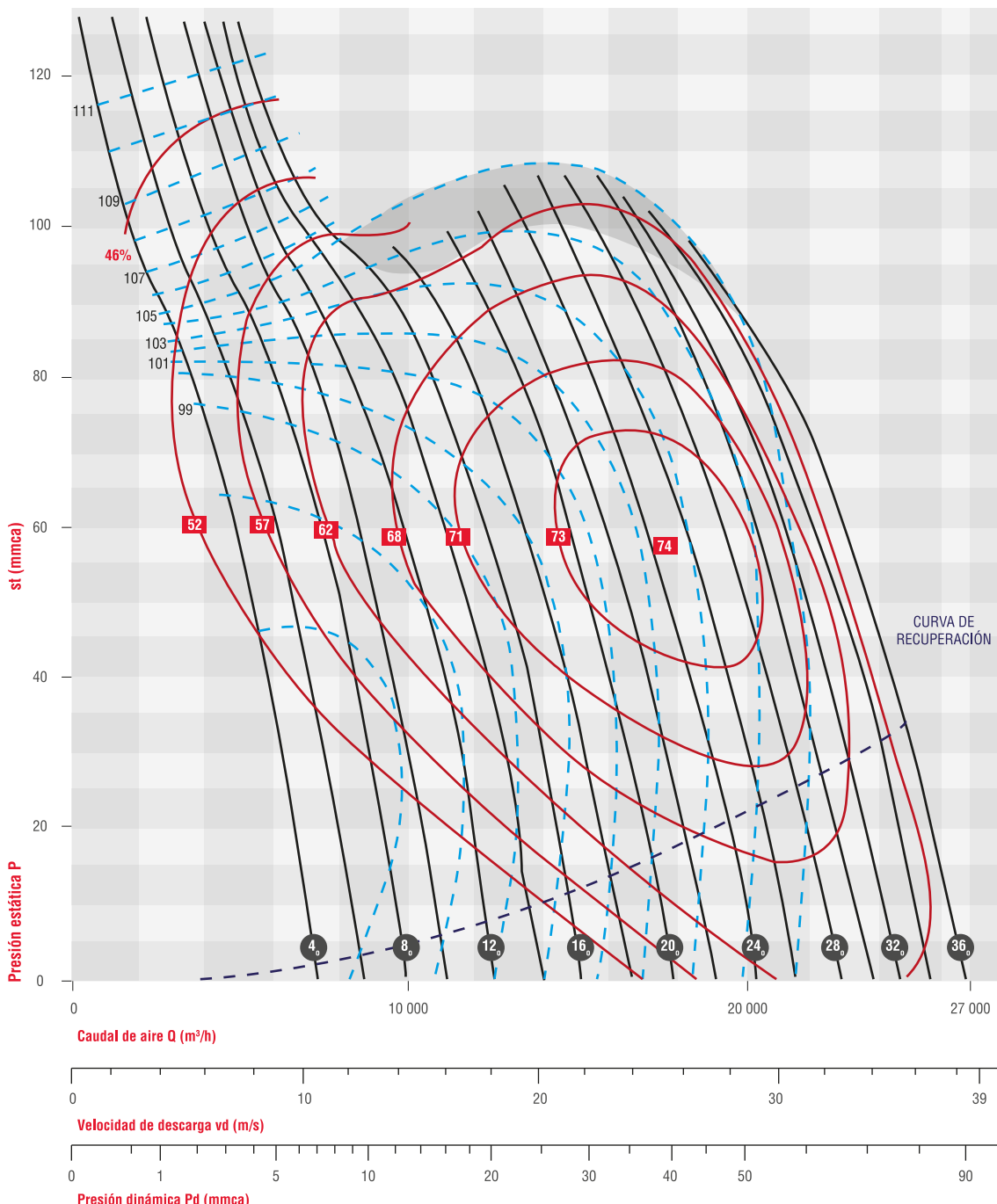
 $\delta = 1,205 \text{ kg/m}^3$ **Ángulo de los álabes**

Diámetro de la hélice D = 494 mm

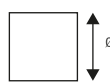
Momento de inercia GD2 = 0,62 kg.m² $\theta = 500\text{mm}$ $A = 0,196 \text{ m}^2$

AVR 500 - 3450 RPM

No selecciones en esta zona

 $\delta = 1,205 \text{ kg/m}^3$


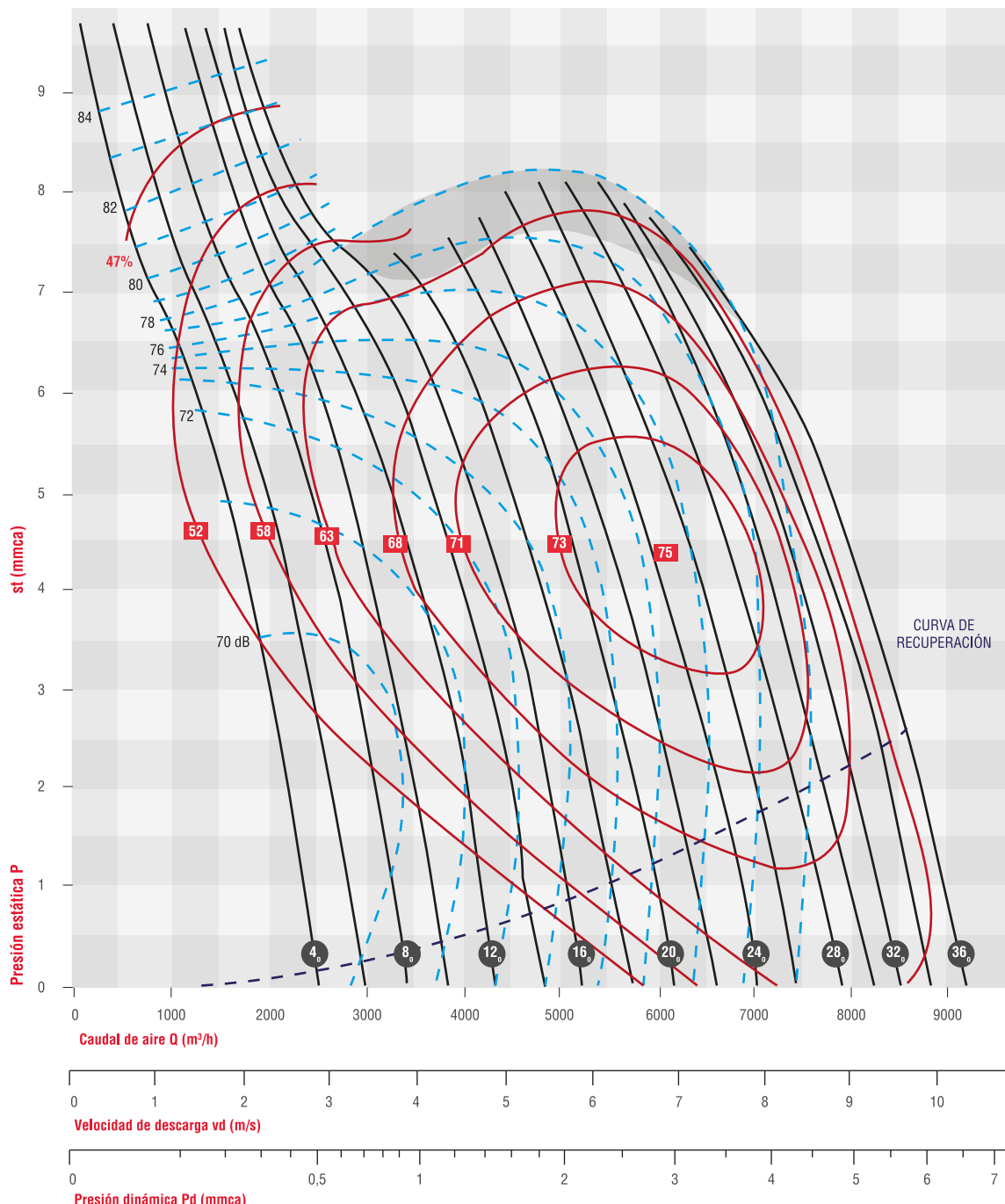
Diámetro de la hélice D = 494 mm

Momento de inercia GD2 = 0,62 kg.m² $\varnothing = 500\text{mm}$ $A = 0,196 \text{ m}^2$

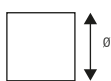


AVR 560 - 850 RPM

No selecciones en esta zona

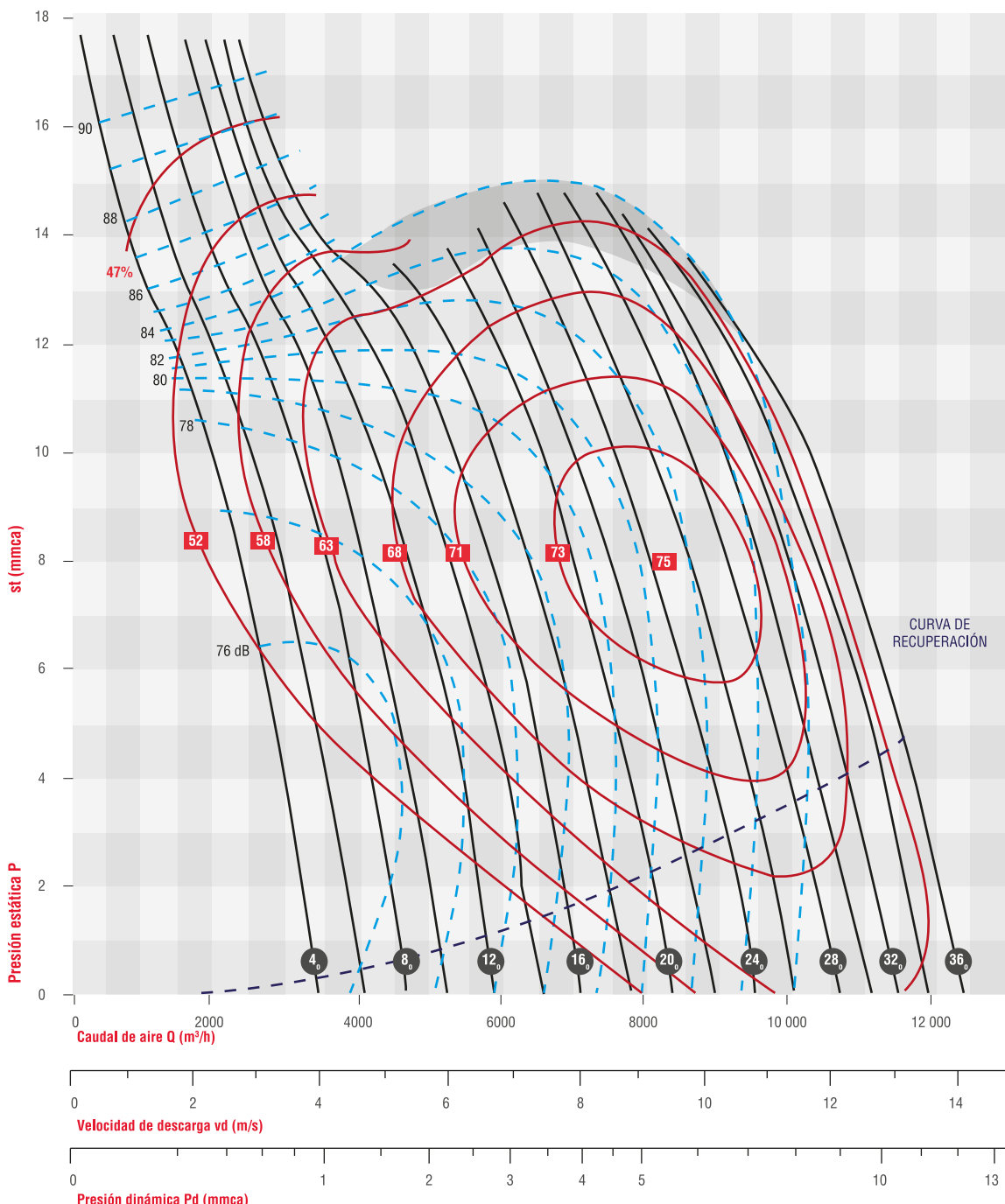
 $\delta = 1,205 \text{ kg/m}^3$ **Ángulo de los álabes**

Diámetro de la hélice D = 553 mm

Momento de inercia GD2 = 1,09 kg.m² $\varnothing = 560 \text{ mm}$ $A = 0,246 \text{ m}^2$

AVR 560 - 1150 RPM

No selecciones en esta zona

 $\delta = 1,205 \text{ kg/m}^3$
Soler&Palau
 Ventilation Group
**Potencia absorbida máxima (hp)**

| | | | | | | | | | | | | | | | | |
|------|------|------|------|------|------|------|------|------|------|------|------|------|------|------|------|------|
| 0,16 | 0,17 | 0,20 | 0,24 | 0,28 | 0,33 | 0,36 | 0,42 | 0,47 | 0,53 | 0,61 | 0,68 | 0,74 | 0,80 | 0,88 | 0,96 | 1,04 |
| 4 | 6 | 8 | 10 | 12 | 14 | 16 | 18 | 20 | 22 | 24 | 26 | 28 | 30 | 32 | 34 | 36 |

Ángulo de los álabes

Diámetro de la hélice D = 553 mm

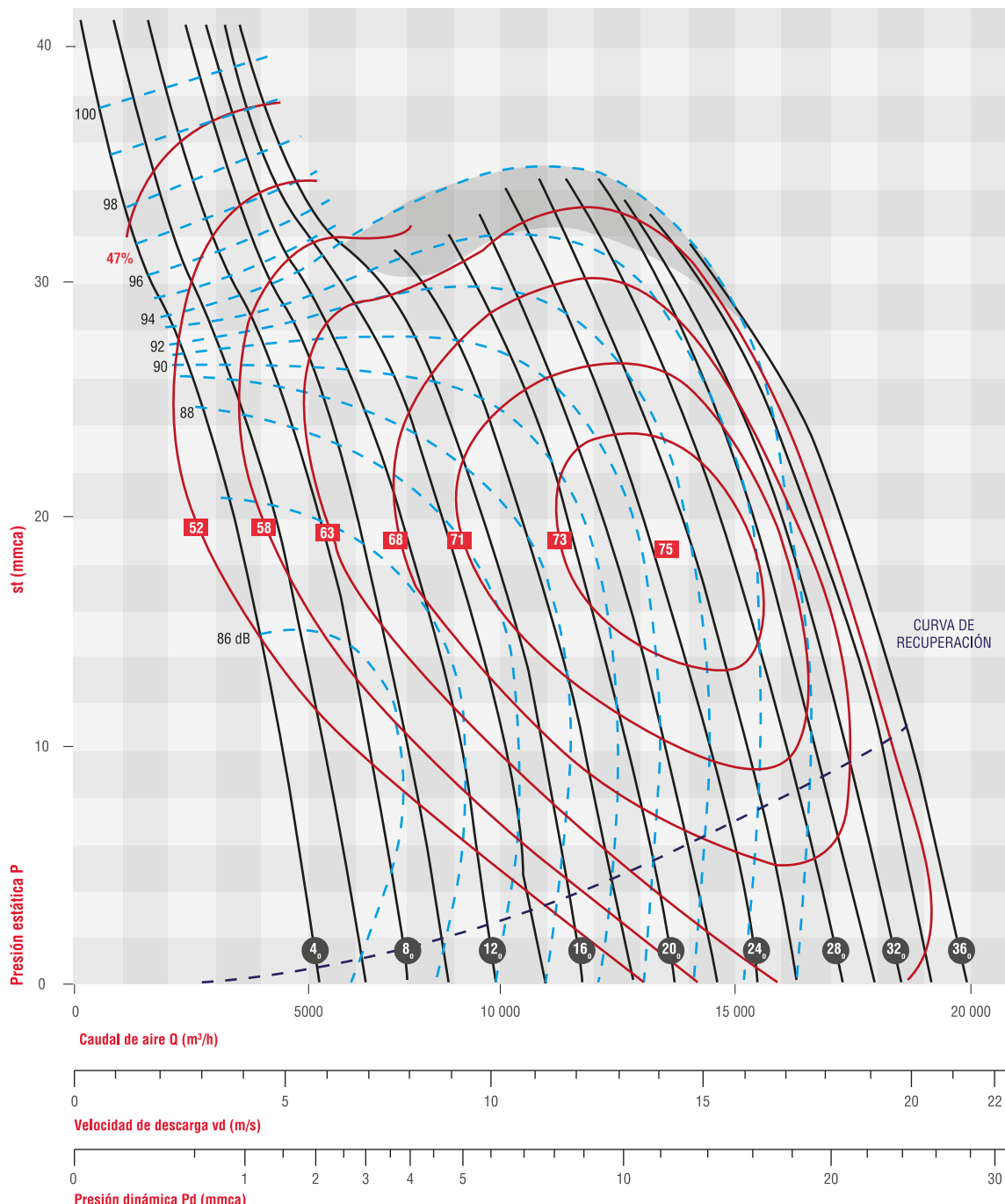
Momento de inercia GD2 = 1,09 kg.m² $\theta = 560\text{mm}$ $A = 0,246 \text{ m}^2$



AVR 560 - 1750 RPM

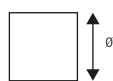
No selecciones en esta zona

$$\delta = 1,205 \text{ kg/m}^3$$



Ángulo de los álabes

Diámetro de la hélice D = 553 mm

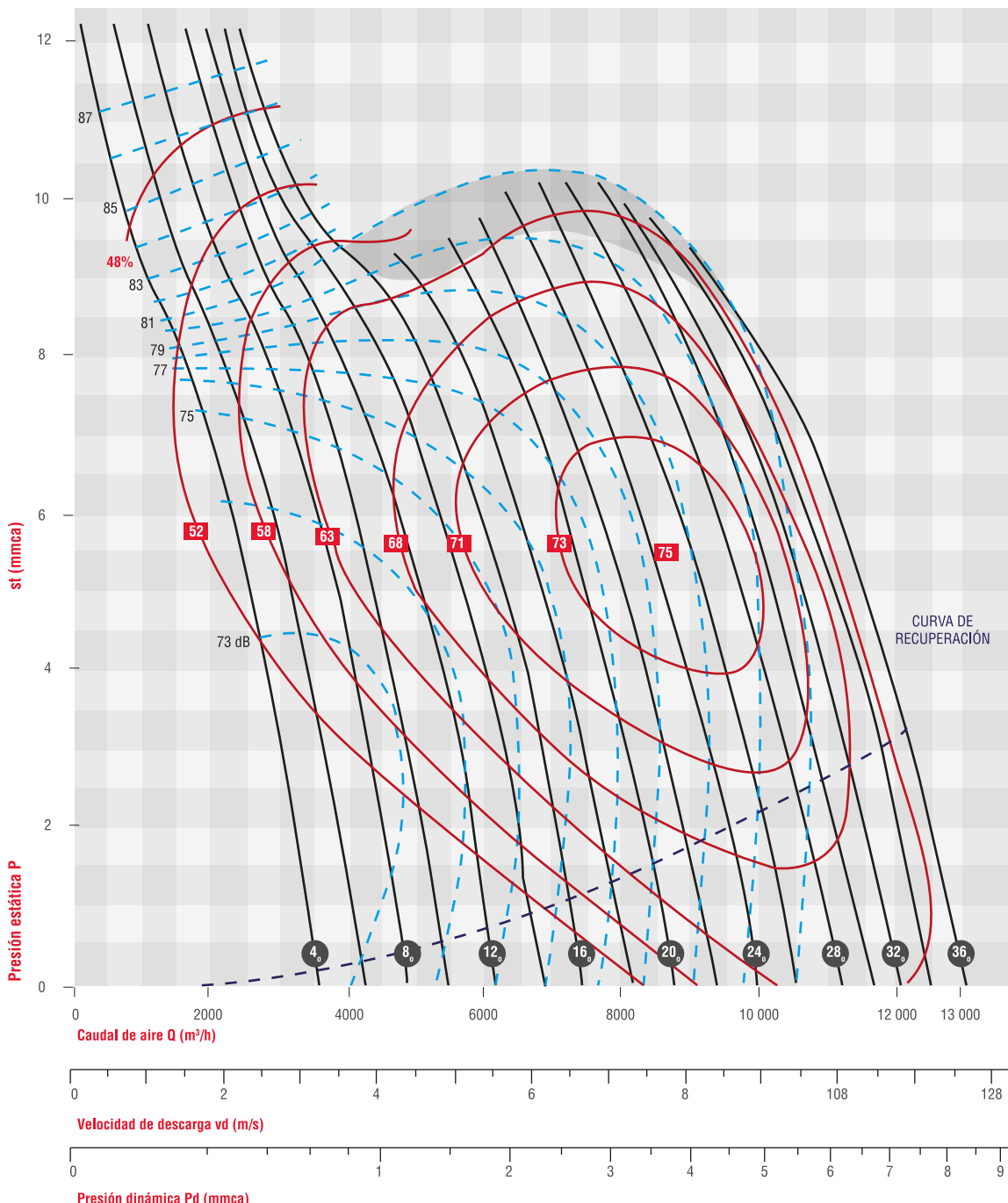
Momento de inercia GD2 = 1,09 kg.m²

$$\varnothing = 560 \text{ mm}$$

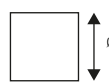
$$A = 0,246 \text{ m}^2$$

AVR 630 - 850 RPM

No selecciones en esta zona

 $\delta = 1,205 \text{ kg/m}^3$
Soler&Palau
Ventilation Group


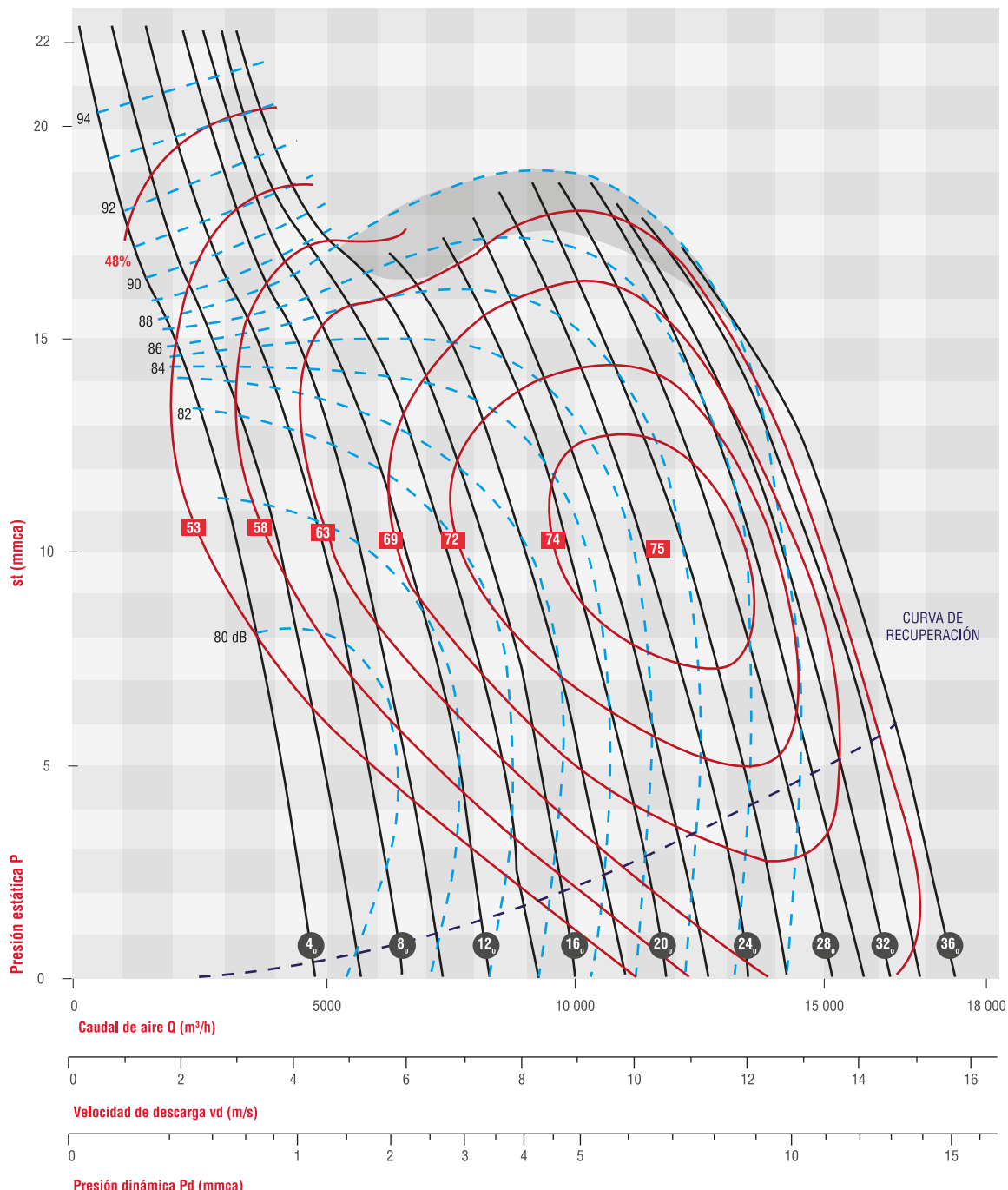
Diámetro de la hélice D = 624 mm

Momento de inercia $GD^2 = 1,71 \text{ kg.m}^2$  $\theta = 630\text{mm}$ $A = 0,312 \text{ m}^2$

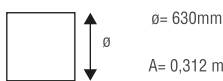


AVR 630 - 1150 RPM

No selecciones en esta zona

 $\delta = 1,205 \text{ kg/m}^3$ 

Diámetro de la hélice D = 624 mm

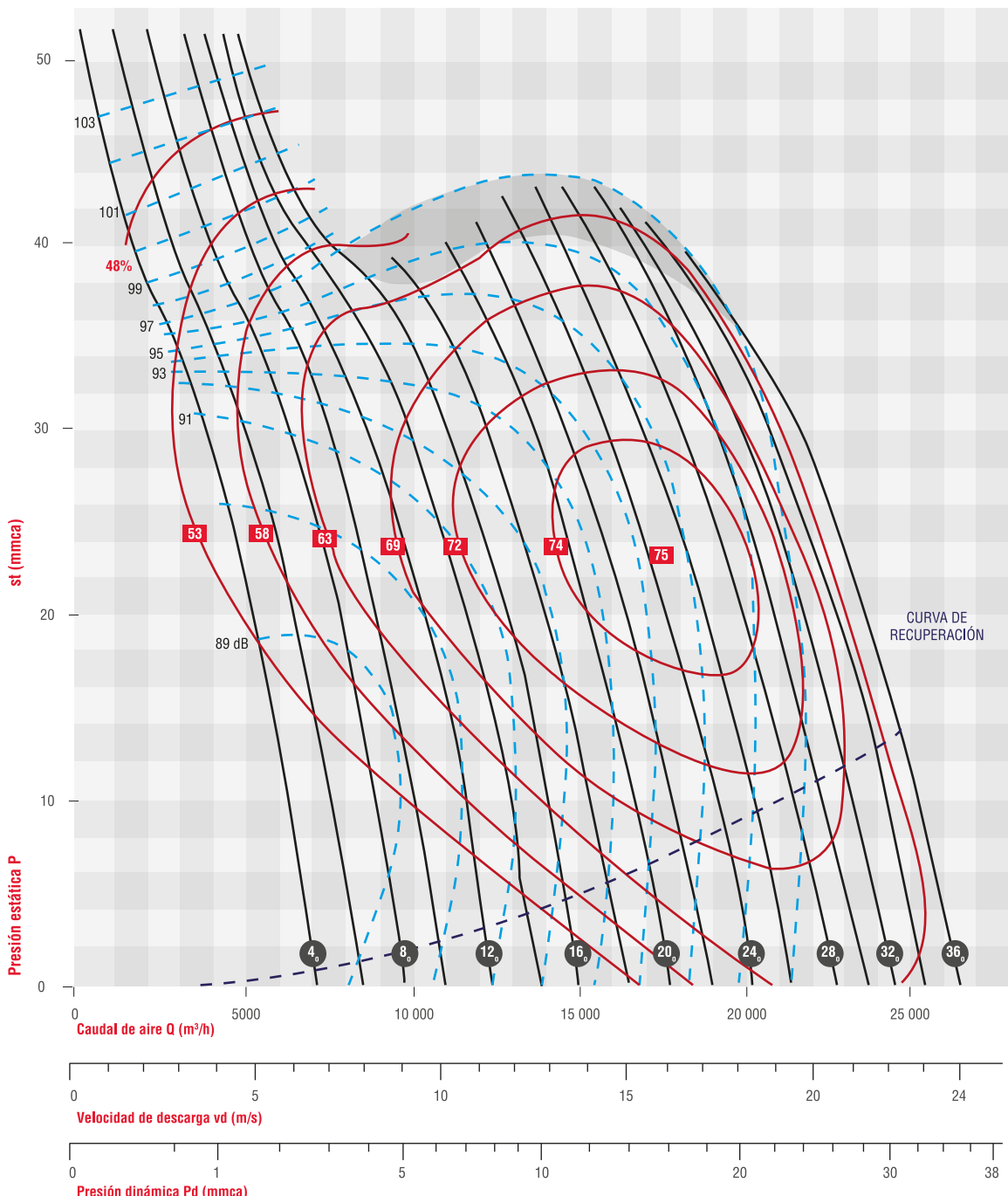
Momento de inercia GD2 = 1,71 kg.m²

AVR 630 - 1750 RPM

No selecciones en esta zona

$\delta = 1,205 \text{ kg/m}^3$

Soler&Palau
Ventilation Group



Potencia absorbida máxima (hp)

| | | | | | | | | | | | | | | | | |
|------|------|------|------|------|------|------|------|------|------|------|------|------|------|------|------|------|
| 1,00 | 1,10 | 1,30 | 1,50 | 1,80 | 2,10 | 2,30 | 2,70 | 3,00 | 3,39 | 3,89 | 4,29 | 4,69 | 5,09 | 5,59 | 6,09 | 6,59 |
| 4 | 6 | 8 | 10 | 12 | 14 | 16 | 18 | 20 | 22 | 24 | 26 | 28 | 30 | 32 | 34 | 36 |

Ángulo de los álabes

Diámetro de la hélice D = 624 mm

Momento de inercia GD2 = 1,71 kg.m²



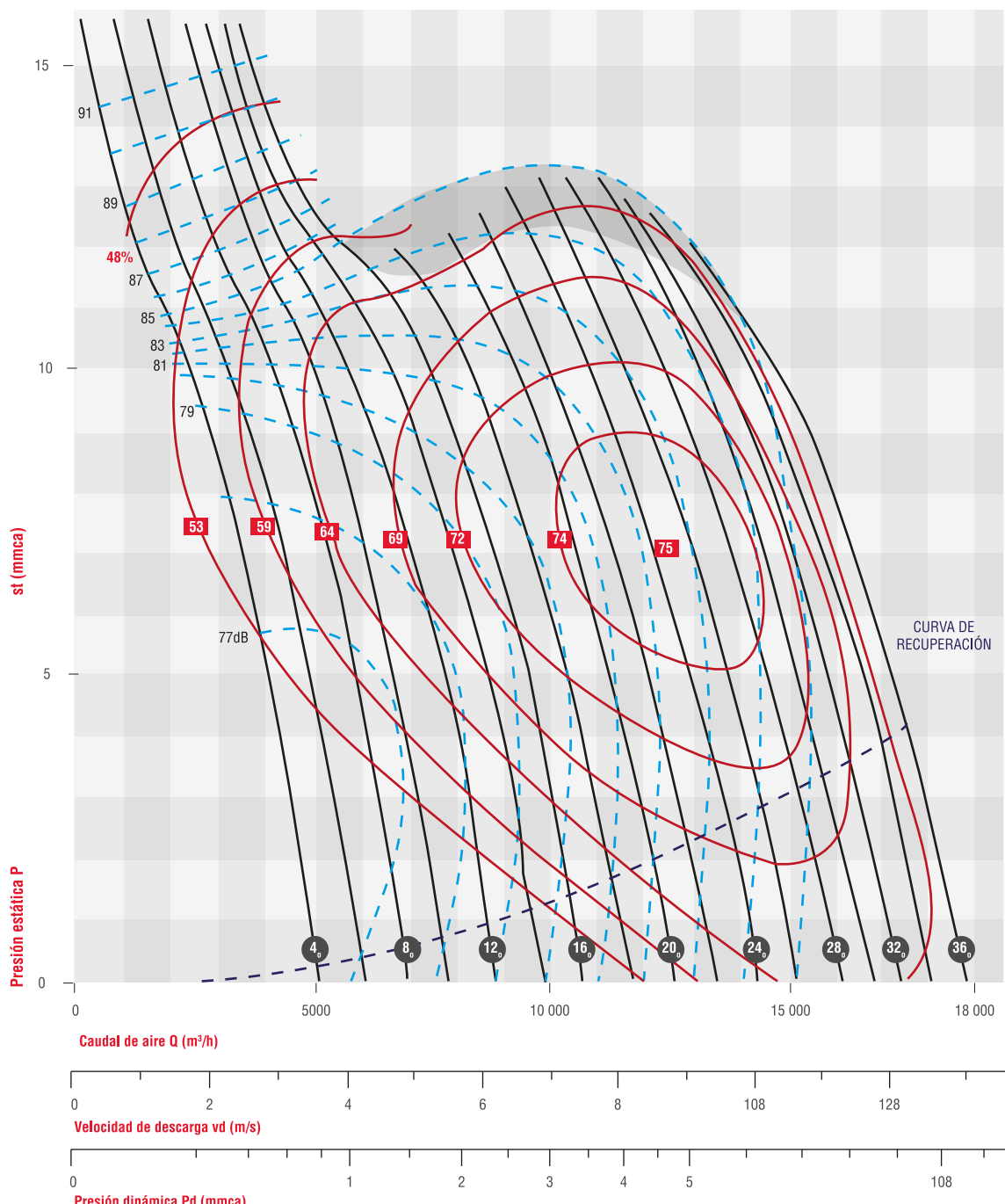
$\varnothing = 630\text{mm}$

$A = 0,312 \text{ m}^2$



AVR 710 - 850 RPM

No selecciones en esta zona

 $\delta = 1,205 \text{ kg/m}^3$ **Potencia absorbida máxima (hp)**

| | | | | | | | | | | | | | | | | |
|------|------|------|------|------|------|------|------|------|------|------|------|------|------|------|------|------|
| 0,21 | 0,23 | 0,27 | 0,31 | 0,37 | 0,44 | 0,48 | 0,56 | 0,63 | 0,71 | 0,81 | 0,89 | 0,98 | 1,06 | 1,16 | 1,27 | 1,37 |
| 4 | 6 | 8 | 10 | 12 | 14 | 16 | 18 | 20 | 22 | 24 | 26 | 28 | 30 | 32 | 34 | 36 |

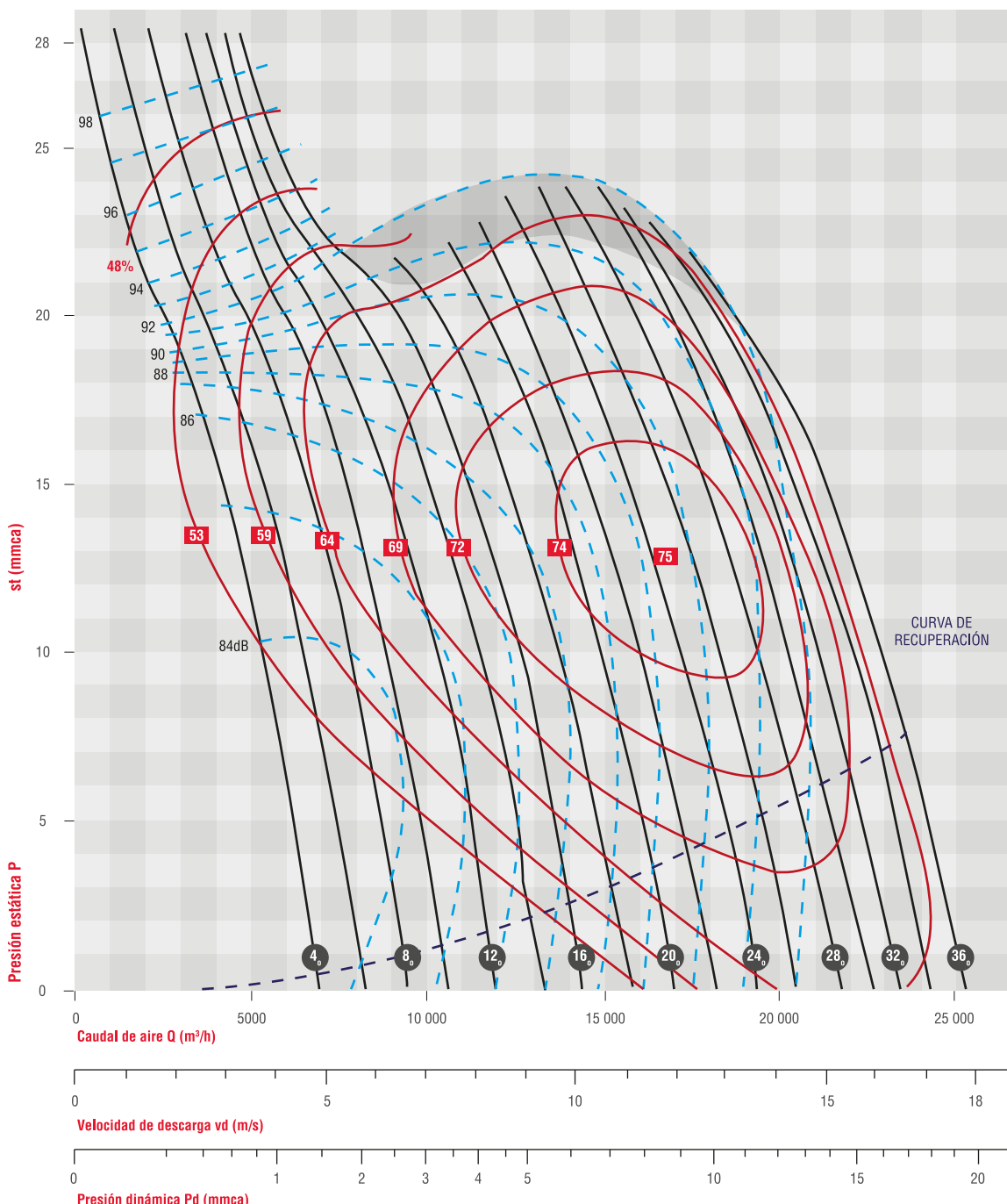
Ángulo de los álabes

Diámetro de la hélice D = 703 mm

Momento de inercia GD2 = 3,58 kg.m² $\theta = 710 \text{ mm}$ $A = 0,396 \text{ m}^2$

AVR 710 - 1150 RPM

No selecciones en esta zona

 $\delta = 1,205 \text{ kg/m}^3$
Soler&Palau
 Ventilation Group
**Potencia absorbida máxima (hp)**

| | | | | | | | | | | | | | | | | |
|------|------|------|------|------|------|------|------|------|------|------|------|------|------|------|------|------|
| 0,51 | 0,57 | 0,67 | 0,77 | 0,93 | 1,08 | 1,18 | 1,39 | 1,55 | 1,75 | 2,01 | 2,21 | 2,42 | 2,63 | 2,88 | 3,14 | 3,40 |
| 4 | 6 | 8 | 10 | 12 | 14 | 16 | 18 | 20 | 22 | 24 | 26 | 28 | 30 | 32 | 34 | 36 |

Ángulo de los álabes

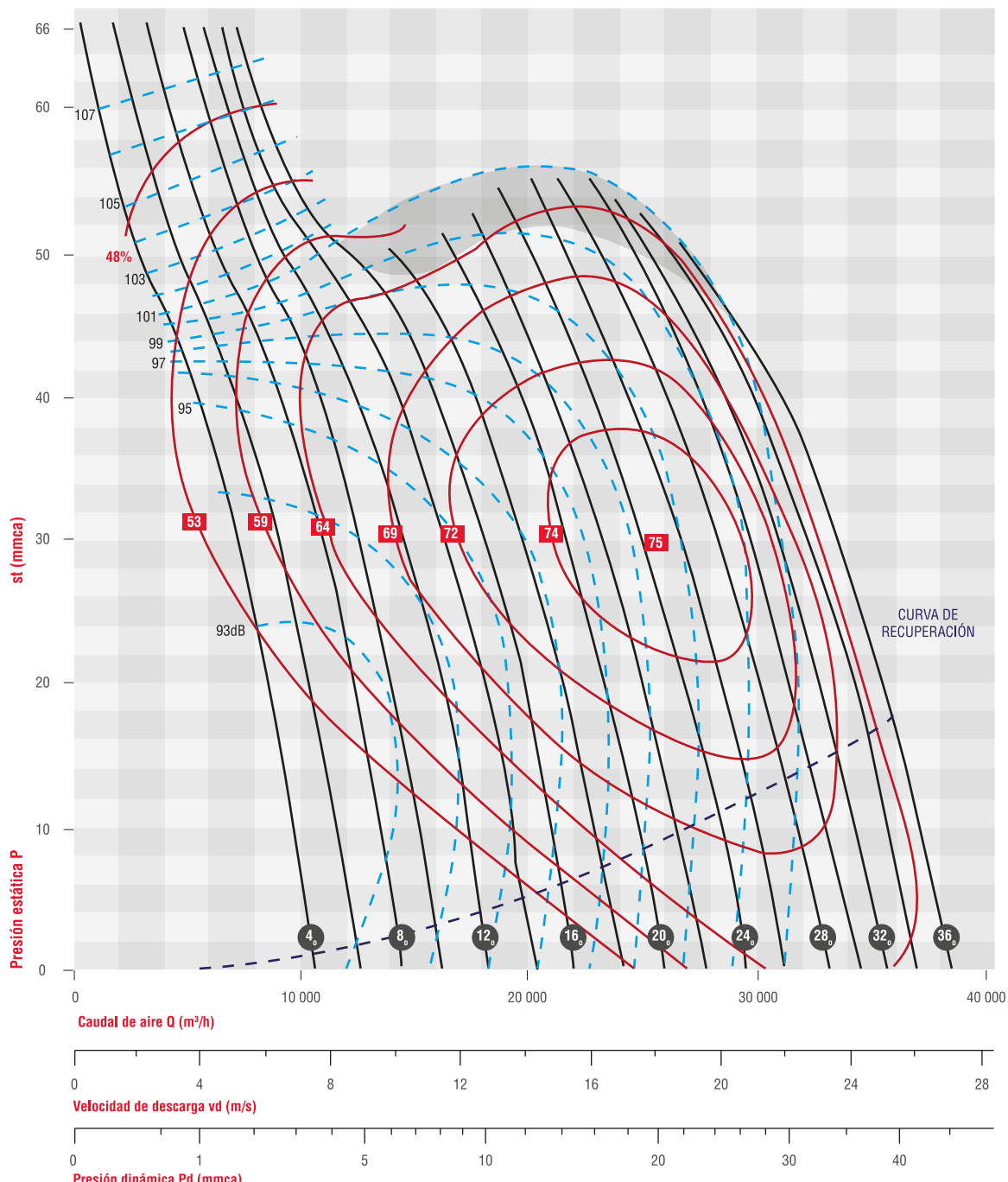
Diámetro de la hélice D = 703 mm

Momento de inercia GD2 = 3,58 kg.m² $\varnothing = 710 \text{ mm}$ $A = 0,396 \text{ m}^2$



AVR 710 - 1750 RPM

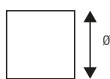
No selecciones en esta zona

 $\delta = 1,205 \text{ kg/m}^3$ **Potencia absorbida máxima (hp)**

| | | | | | | | | | | | | | | | | |
|------|------|------|------|------|------|------|------|------|------|------|------|------|------|-------|-------|-------|
| 1,81 | 2,00 | 2,36 | 2,72 | 3,27 | 3,81 | 4,17 | 4,90 | 5,45 | 6,17 | 7,08 | 7,80 | 8,53 | 9,26 | 10,16 | 11,07 | 11,98 |
| 4 | 6 | 8 | 10 | 12 | 14 | 16 | 18 | 20 | 22 | 24 | 26 | 28 | 30 | 32 | 34 | 36 |

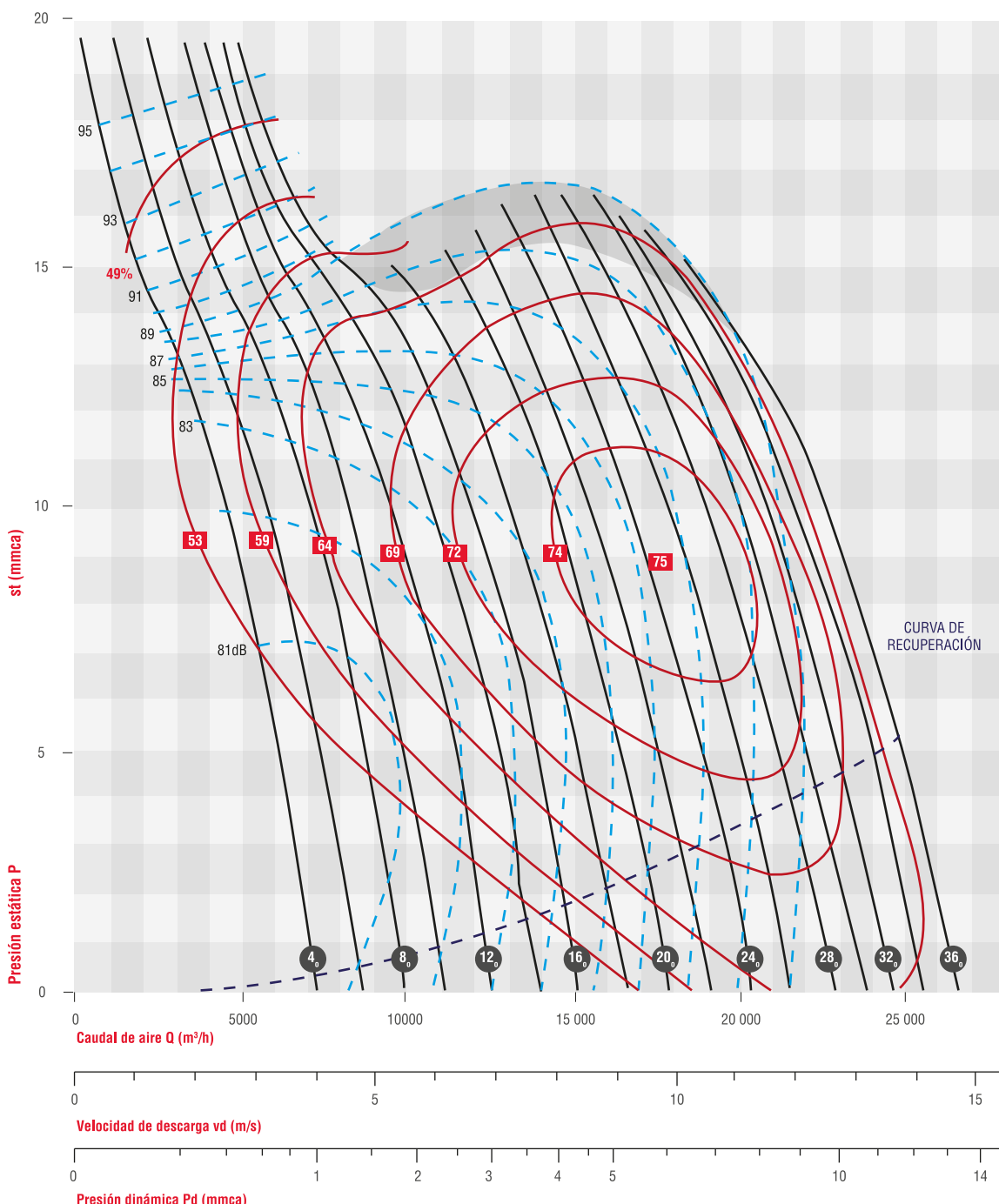
Ángulo de los álabes

Diámetro de la hélice D = 703 mm

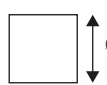
Momento de inercia GD2 = 3,58 kg.m² $\Phi = 710 \text{ mm}$ $A = 0,396 \text{ m}^2$

AVR 800 - 850 RPM

No selecciones en esta zona

 $\delta = 1,205 \text{ kg/m}^3$
Soler&Palau
 Ventilation Group


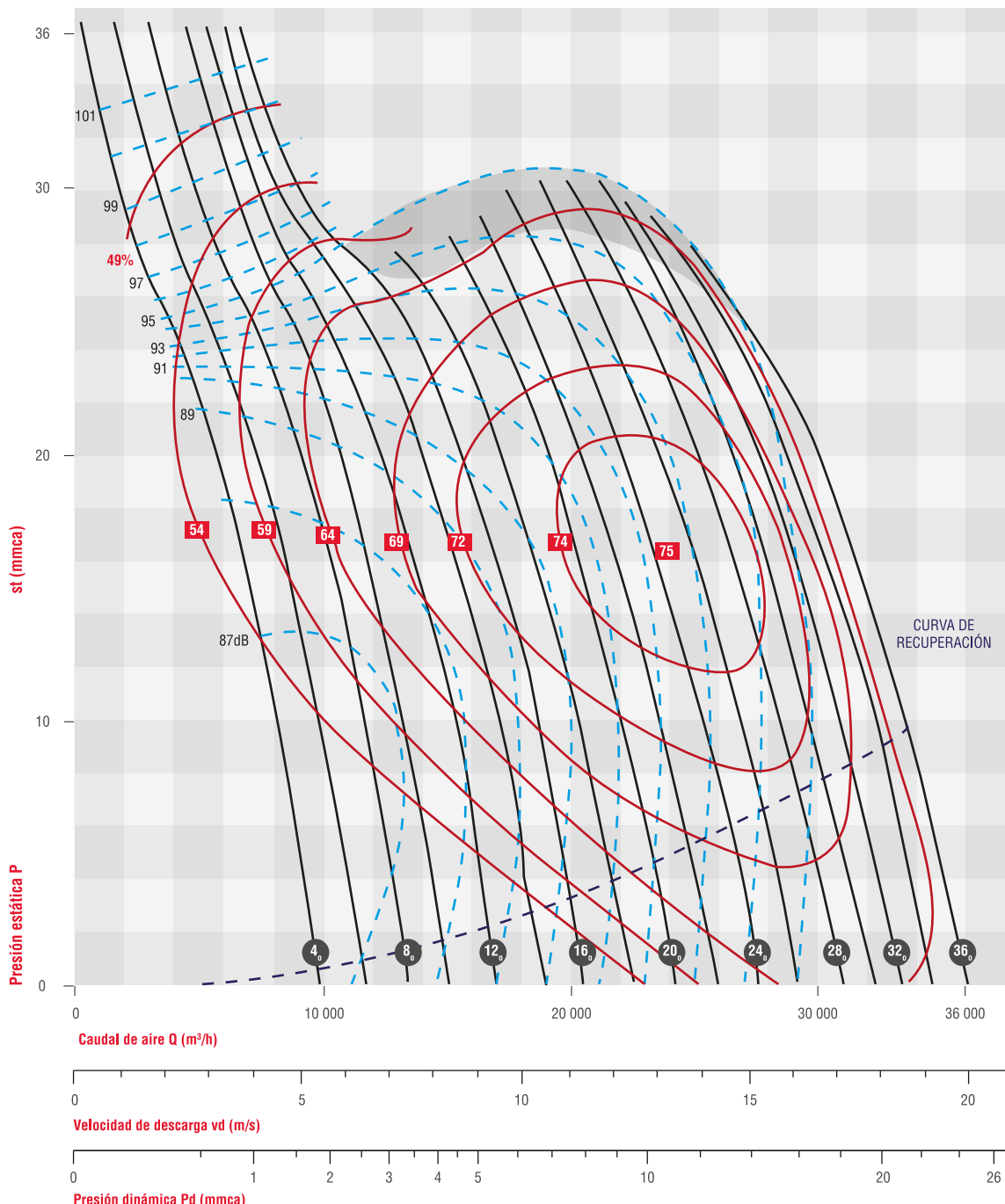
Diámetro de la hélice D = 792 mm

Momento de inercia GD₂ = 5,49 kg.m² $\varnothing = 800\text{mm}$ $A = 0,503 \text{ m}^2$



AVR 800 - 1150 RPM

No selecciones en esta zona

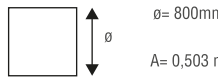
 $\delta = 1,205 \text{ kg/m}^3$ 

Potencia absorbida máxima (hp)

| | | | | | | | | | | | | | | | | |
|------|------|------|------|------|------|------|------|------|------|------|------|------|------|------|------|------|
| 0,93 | 1,03 | 1,22 | 1,40 | 1,68 | 1,96 | 2,15 | 2,53 | 2,81 | 3,18 | 3,65 | 4,02 | 4,40 | 4,77 | 5,24 | 5,71 | 6,17 |
| 4 | 6 | 8 | 10 | 12 | 14 | 16 | 18 | 20 | 22 | 24 | 26 | 28 | 30 | 32 | 34 | 36 |

Ángulo de los álabes

Diámetro de la hélice D = 792 mm

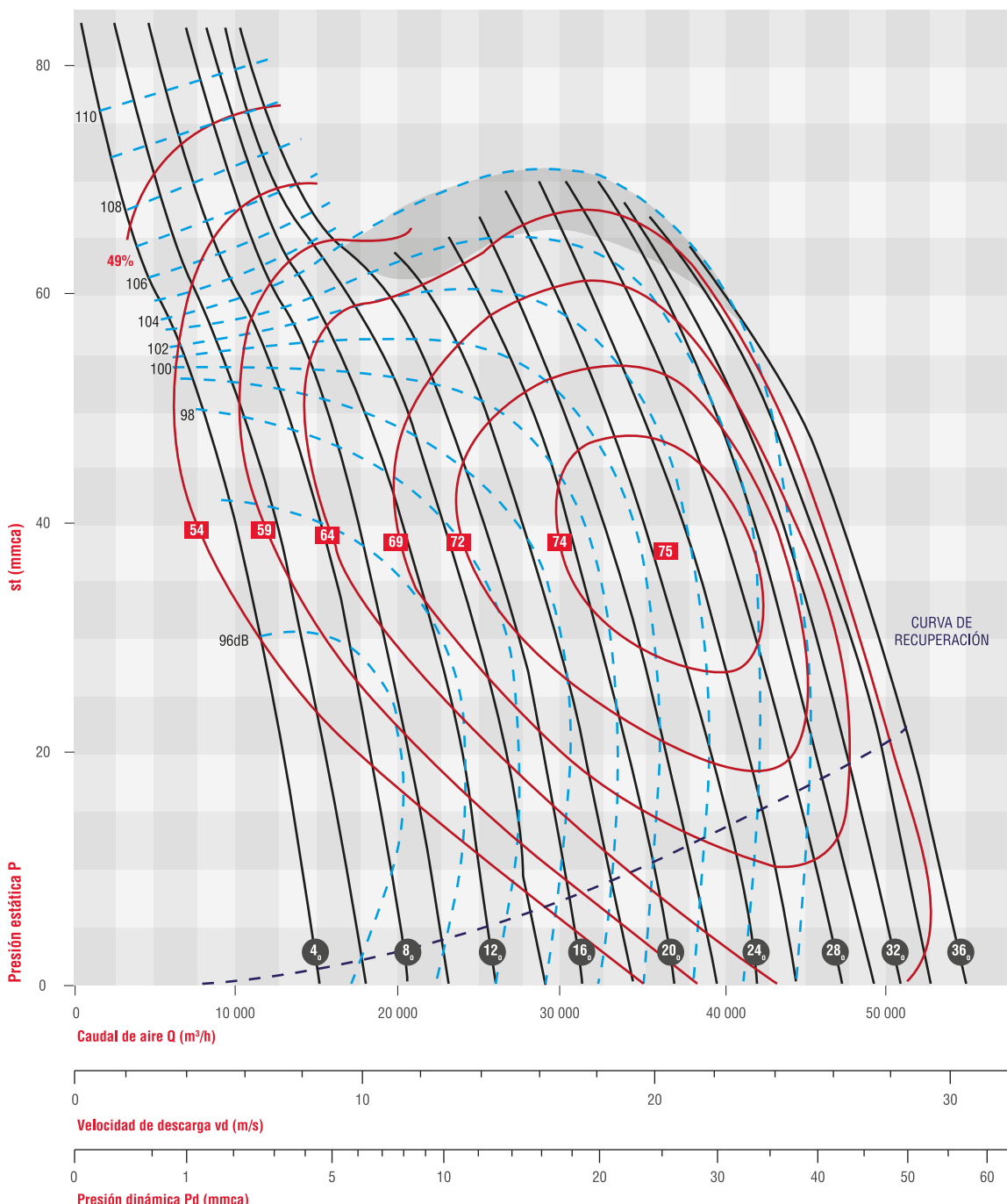
Momento de inercia GD2 = 5,49 kg.m²

AVR 800 - 1750 RPM

No selecciones en esta zona

$\delta = 1,205 \text{ kg/m}^3$

Soler&Palau
Ventilation Group



Potencia absorbida máxima (hp)

| | | | | | | | | | | | | | | | | |
|------|------|------|------|------|------|------|------|------|-------|-------|-------|-------|-------|-------|-------|-------|
| 3,29 | 3,62 | 4,29 | 4,94 | 5,93 | 6,92 | 7,58 | 8,90 | 9,89 | 11,21 | 12,85 | 14,17 | 15,49 | 16,81 | 18,46 | 20,11 | 21,75 |
| 4 | 6 | 8 | 10 | 12 | 14 | 16 | 18 | 20 | 22 | 24 | 26 | 28 | 30 | 32 | 34 | 36 |

Ángulo de los álabes

Diámetro de la hélice D = 792 mm

Momento de inercia $GD^2 = 5,49 \text{ kg.m}^2$



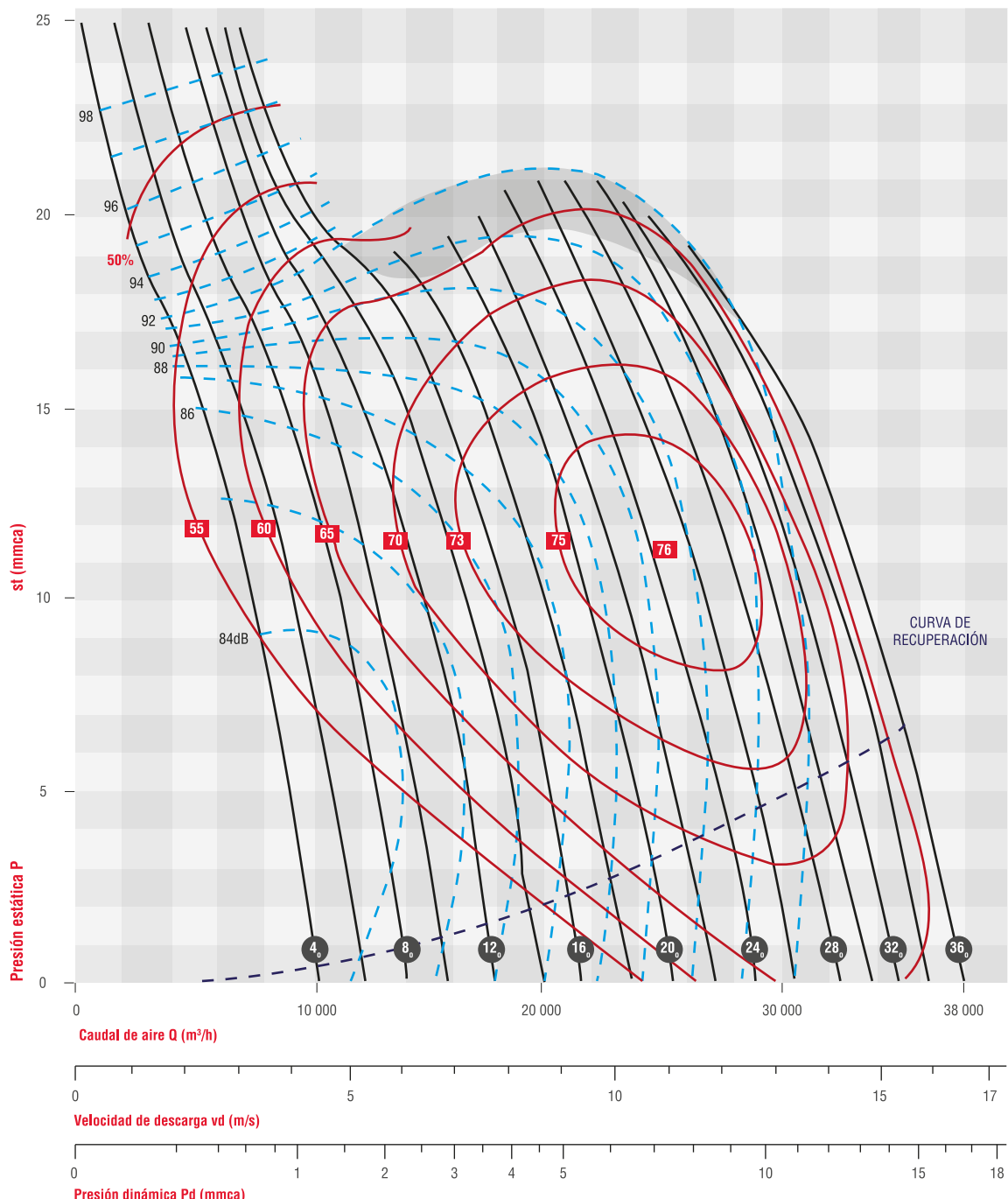
$\theta = 800\text{mm}$

$A = 0,503 \text{ m}^2$

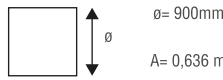


AVR 900 - 850 RPM

No selecciones en esta zona

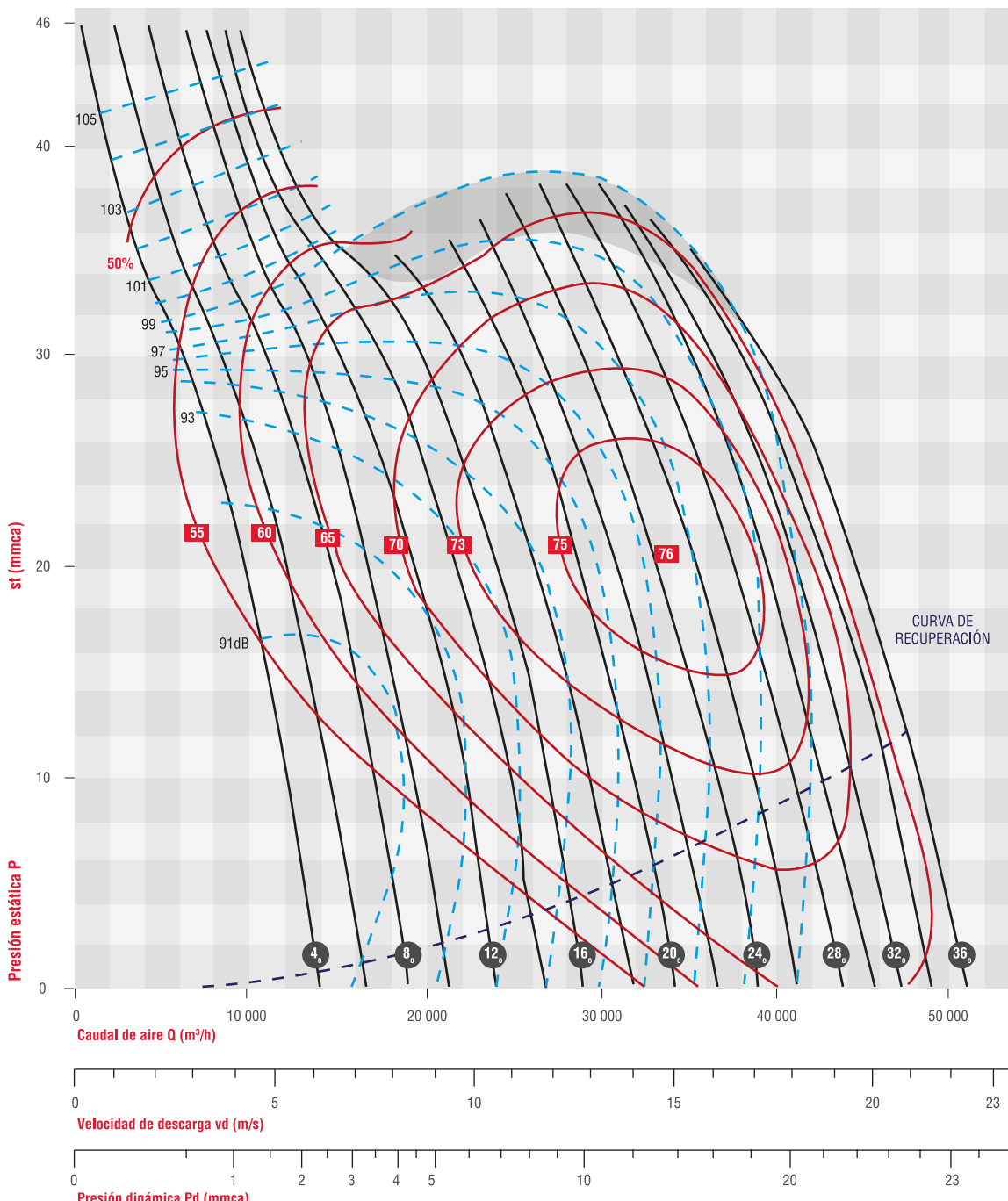
 $\delta = 1,205 \text{ kg/m}^3$ 

| Potencia absorbida máxima (hp) | | | | | | | | | | | | | | | | |
|--------------------------------|------|------|------|------|------|------|------|------|------|------|------|------|------|------|------|------|
| 0,68 | 0,75 | 0,89 | 1,02 | 1,23 | 1,43 | 1,57 | 1,84 | 2,04 | 2,31 | 2,65 | 2,93 | 3,20 | 3,47 | 3,81 | 4,15 | 4,49 |
| 4 | 6 | 8 | 10 | 12 | 14 | 16 | 18 | 20 | 22 | 24 | 26 | 28 | 30 | 32 | 34 | 36 |

Ángulo de los álabesDiámetro de la hélice $D = 891 \text{ mm}$ Momento de inercia $GD^2 = 13,2 \text{ kg.m}^2$ 

AVR 900 - 1150 RPM

No selecciones en esta zona

 $\delta = 1,205 \text{ kg/m}^3$
Soler&Palau
 Ventilation Group
**Potencia absorbida máxima (hp)**

| | | | | | | | | | | | | | | | | |
|------|------|------|------|------|------|------|------|------|------|------|------|------|------|------|-------|-------|
| 1,68 | 1,85 | 2,19 | 2,53 | 3,03 | 3,54 | 3,88 | 4,55 | 5,06 | 5,73 | 6,57 | 7,25 | 7,92 | 8,60 | 9,44 | 10,28 | 11,12 |
| 4 | 6 | 8 | 10 | 12 | 14 | 16 | 18 | 20 | 22 | 24 | 26 | 28 | 30 | 32 | 34 | 36 |

Ángulo de los álabes

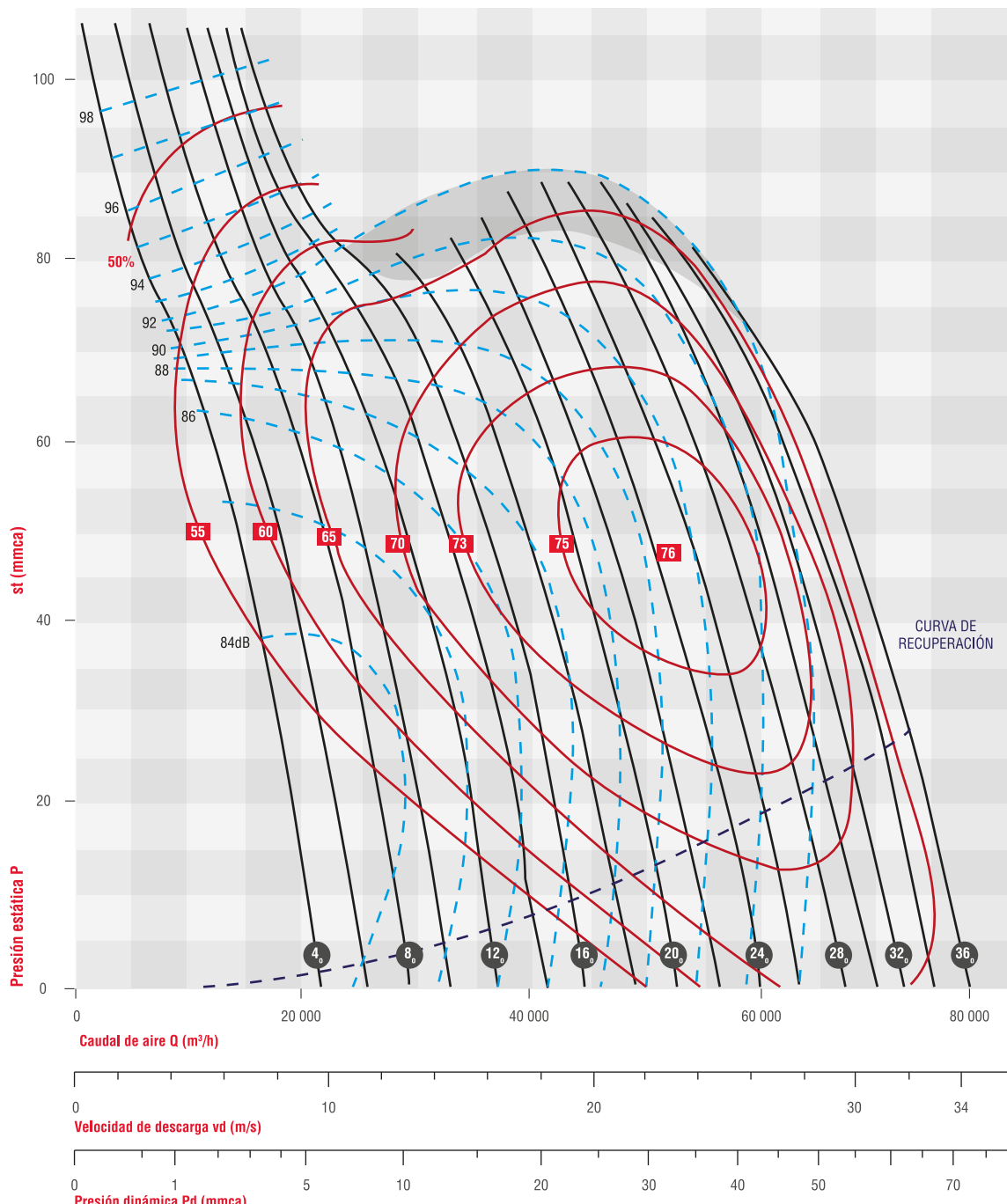
Diámetro de la hélice D = 891 mm

Momento de inercia GD2 = 13,2 kg.m² $\varnothing = 900\text{mm}$ $A = 0,636 \text{ m}^2$

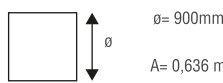


AVR 900 - 850 RPM

No selecciones en esta zona

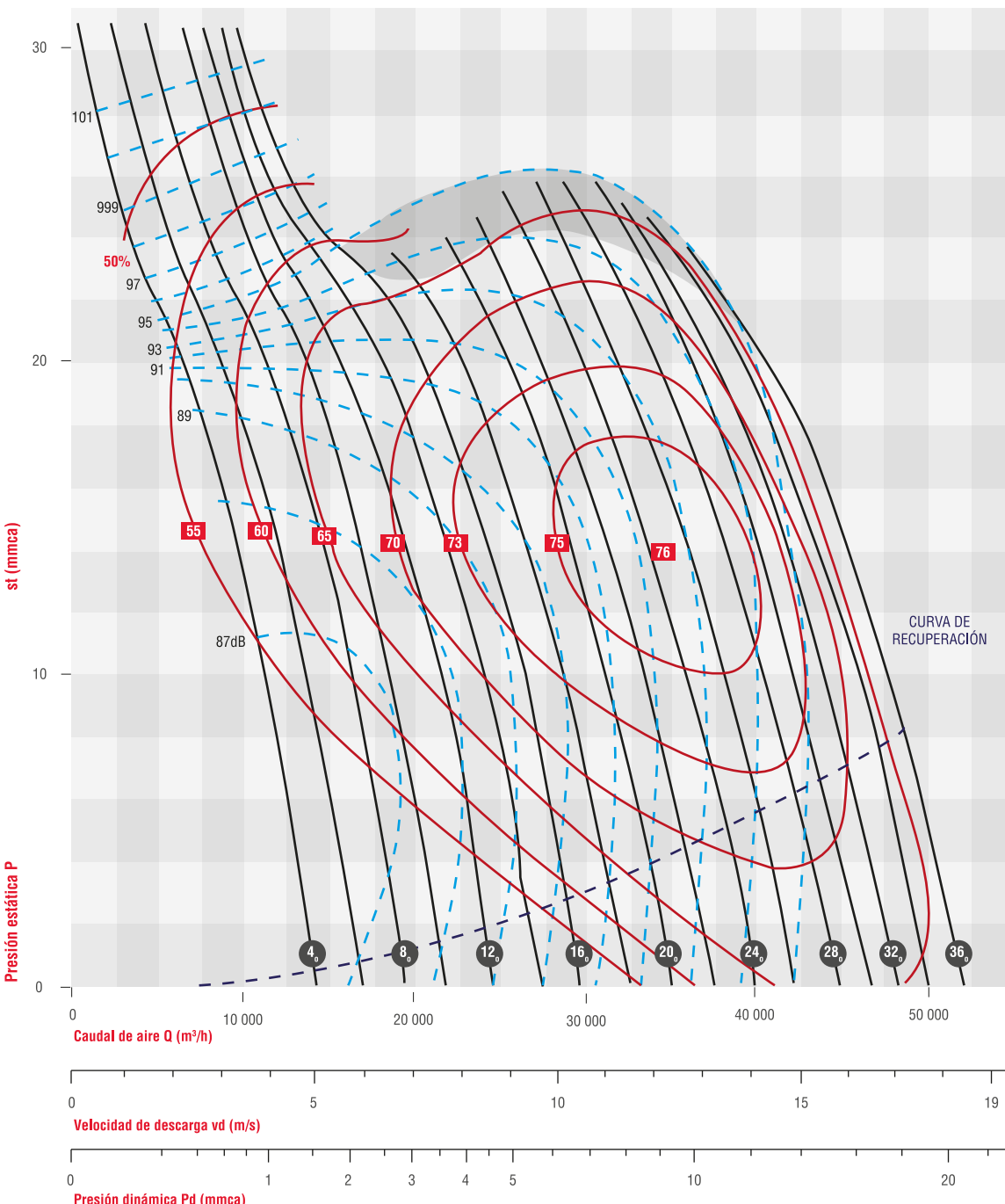
 $\delta = 1,205 \text{ kg/m}^3$ **Ángulo de los álabes**

Diámetro de la hélice D = 891 mm

Momento de inercia GD2 = 13,2 kg.m²

AVR 1000 - 850 RPM

No selecciones en esta zona

 $\delta = 1,205 \text{ kg/m}^3$
Soler&Palau
 Ventilation Group


| Ángulo de los álabes | | | | | | | | | | | | | | | | |
|----------------------|------|------|------|------|------|------|------|------|------|------|------|------|------|------|------|------|
| 1,15 | 1,27 | 1,50 | 1,73 | 2,08 | 2,42 | 2,65 | 3,11 | 3,46 | 3,92 | 4,49 | 4,96 | 5,42 | 5,88 | 6,45 | 7,03 | 7,61 |
| 4 | 6 | 8 | 10 | 12 | 14 | 16 | 18 | 20 | 22 | 24 | 26 | 28 | 30 | 32 | 34 | 36 |

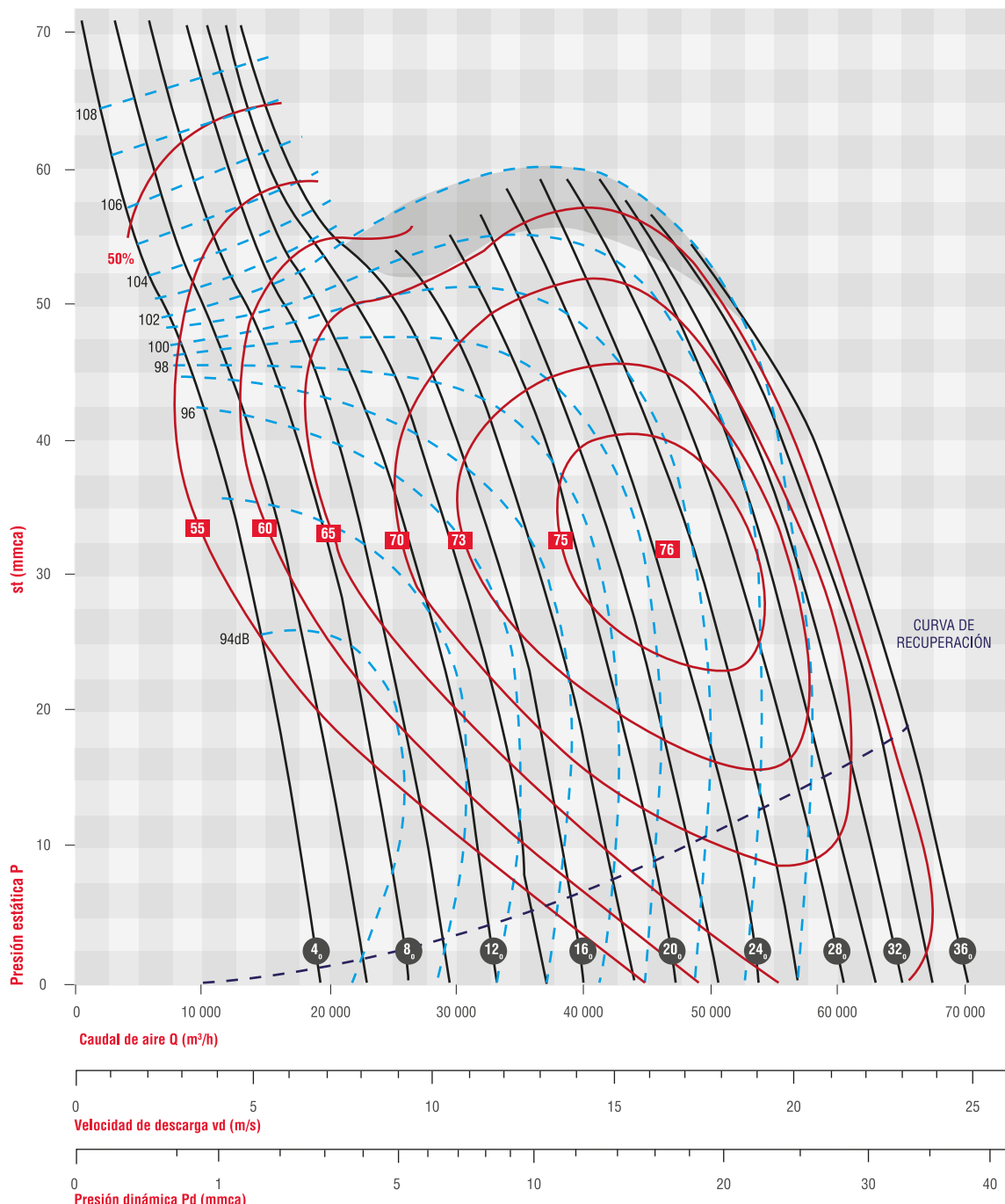
Diámetro de la hélice D = 988 mm

Momento de inercia $GD^2 = 18,3 \text{ kg.m}^2$  $\theta = 1000\text{mm}$ $A = 0,785 \text{ m}^2$



AVR 1000 - 1150 RPM

No selecciones en esta zona

 $\delta = 1,205 \text{ kg/m}^3$ 

Potencia absorbida máxima (hp)

| | | | | | | | | | | | | | | | | |
|------|------|------|------|------|------|------|------|------|------|-------|-------|-------|-------|-------|-------|-------|
| 2,85 | 3,14 | 3,71 | 4,28 | 5,14 | 5,99 | 6,56 | 7,71 | 8,56 | 9,71 | 11,13 | 12,27 | 13,41 | 14,56 | 15,99 | 17,41 | 18,84 |
| 4 | 6 | 8 | 10 | 12 | 14 | 16 | 18 | 20 | 22 | 24 | 26 | 28 | 30 | 32 | 34 | 36 |

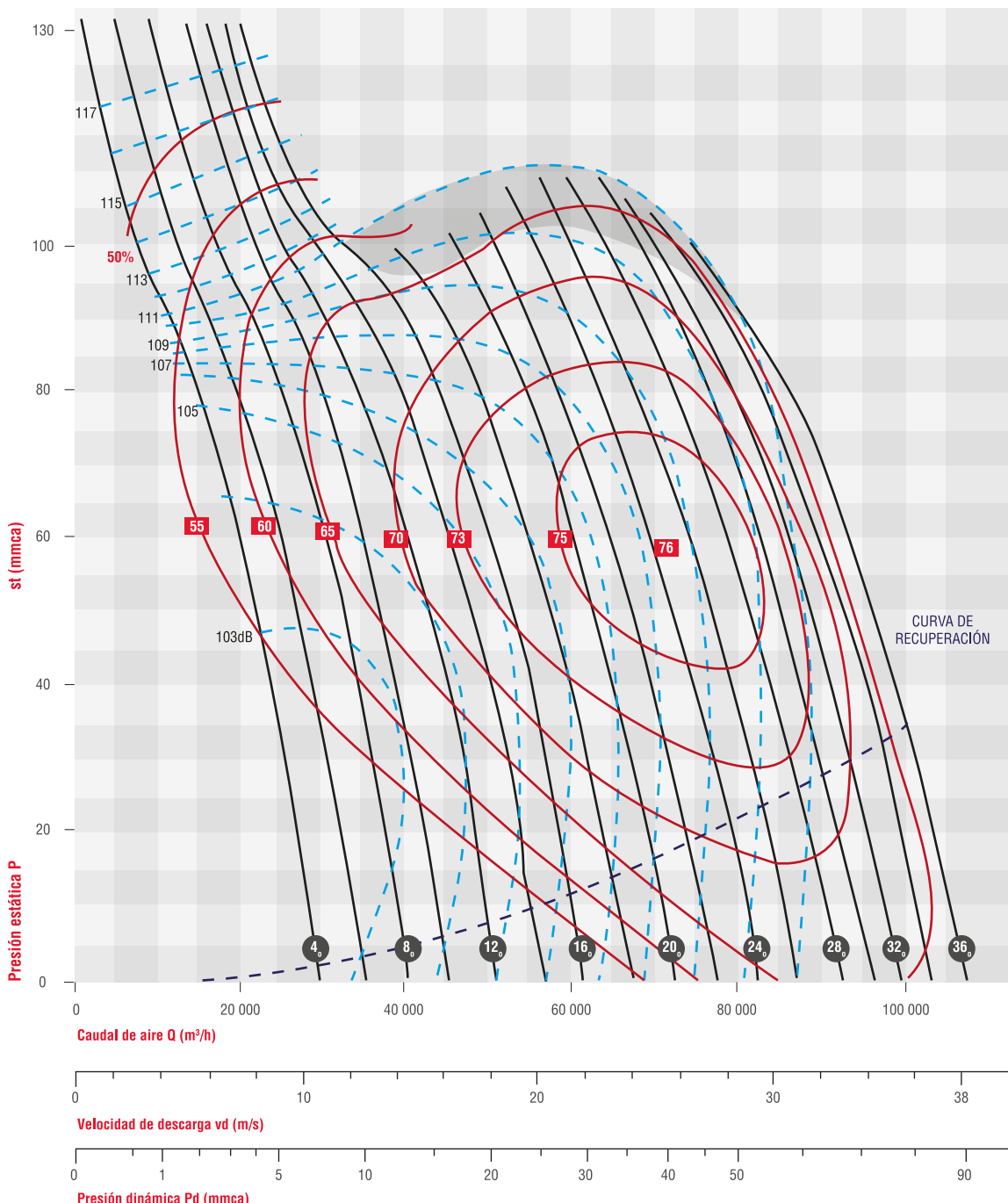
Ángulo de los álabes

Diámetro de la hélice D = 988 mm

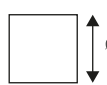
Momento de inercia GD2 = 18,3 kg.m² $\varnothing = 1000\text{mm}$ $A = 0,785 \text{ m}^2$

AVR 1000 - 1750 RPM

No selecciones en esta zona

 $\delta = 1,205 \text{ kg/m}^3$
Soler&Palau
 Ventilation Group


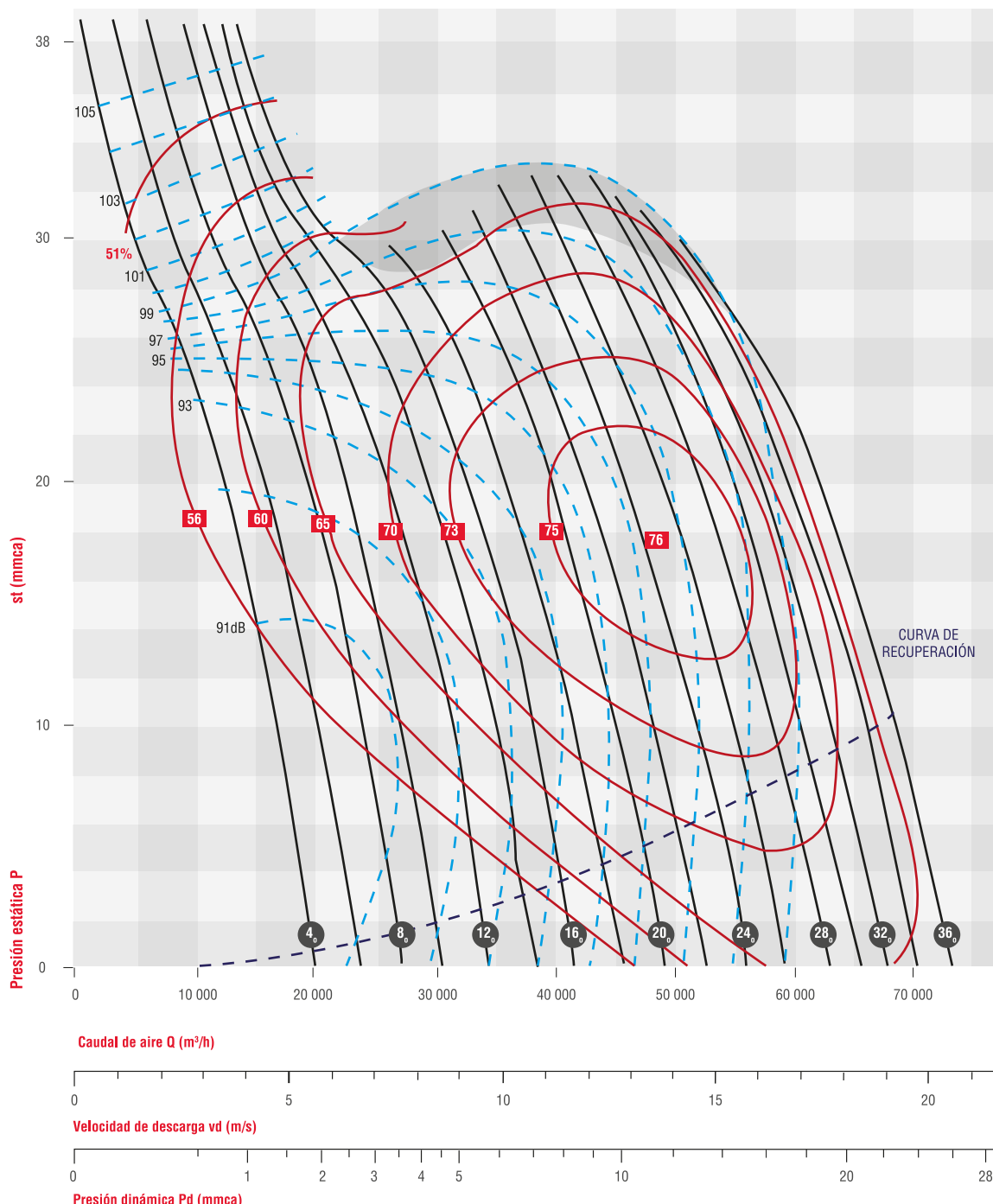
Diámetro de la hélice D = 988 mm

Momento de inercia GD₂ = 18,3 kg.m² $\theta = 1000\text{mm}$ $A = 0,785 \text{ m}^2$



AVR 1000 - 1150 RPM

No selecciones en esta zona

 $\delta = 1,205 \text{ kg/m}^3$ **Potencia absorbida máxima (hp)**

| | | | | | | | | | | | | | | | | |
|------|------|------|------|------|------|------|------|------|------|------|------|------|-------|-------|-------|-------|
| 2,03 | 2,23 | 2,64 | 3,05 | 3,66 | 4,27 | 4,67 | 5,48 | 6,09 | 6,91 | 7,92 | 8,73 | 9,55 | 10,36 | 11,38 | 12,39 | 13,41 |
| 4 | 6 | 8 | 10 | 12 | 14 | 16 | 18 | 20 | 22 | 24 | 26 | 28 | 30 | 32 | 34 | 36 |

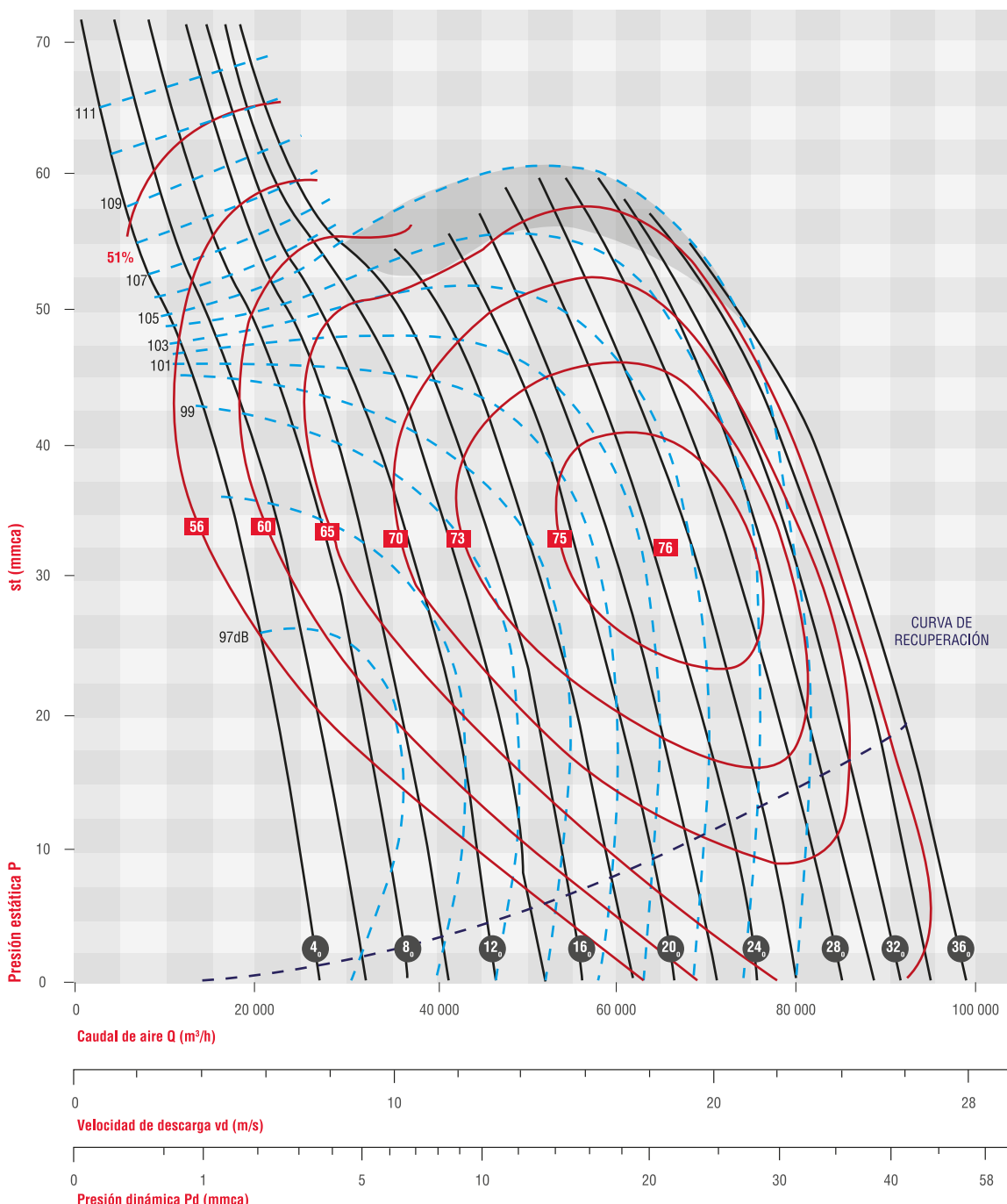
Ángulo de los álabes

Diámetro de la hélice D = 1109 mm

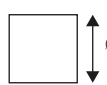
Momento de inercia GD2 = 37,0 kg.m² $\Phi = 1120 \text{ mm}$ $A = 0.985 \text{ m}^2$

AVR 1120 - 1150 RPM

No selecciones en esta zona

 $\delta = 1,205 \text{ kg/m}^3$
Soler&Palau
 Ventilation Group


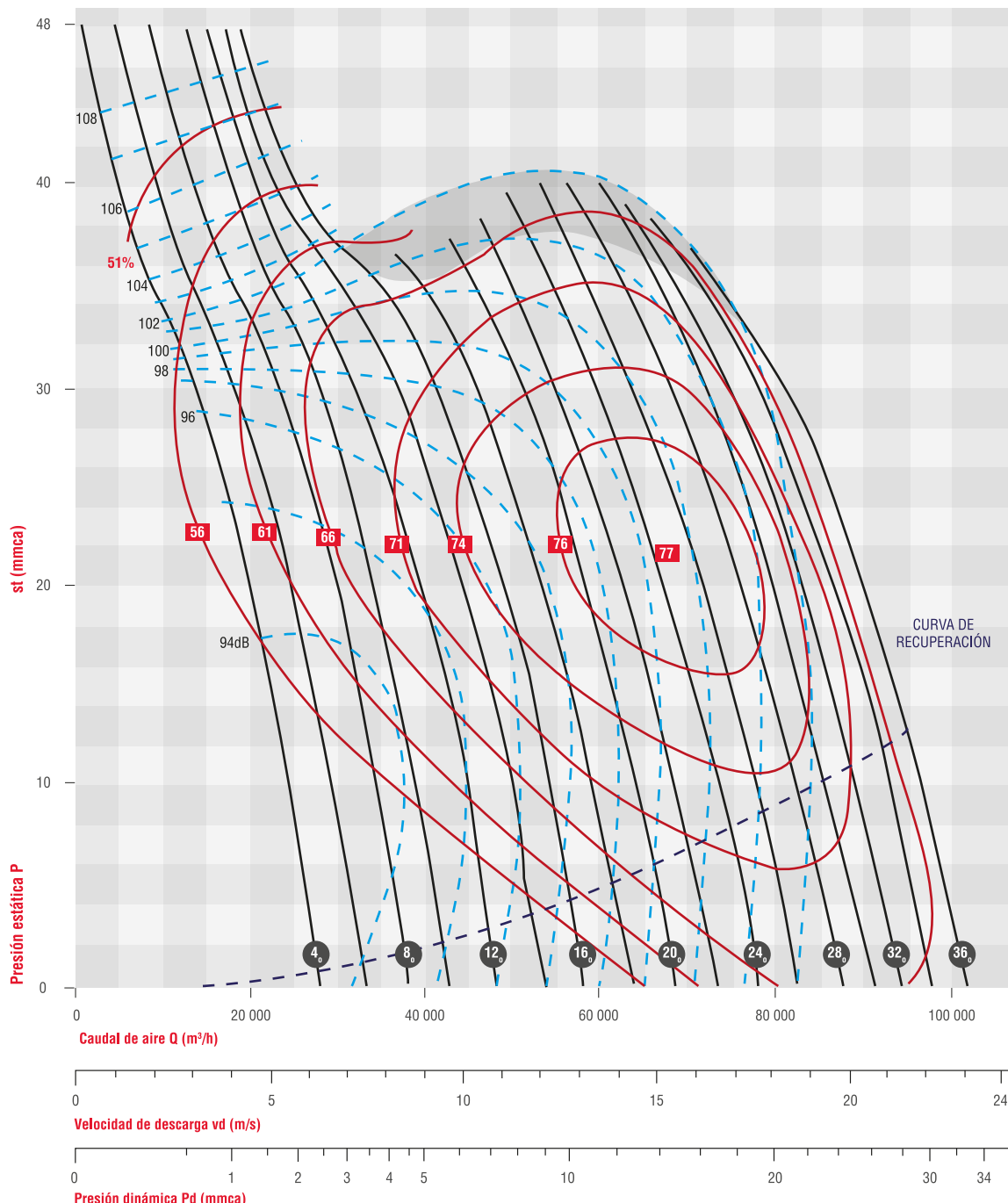
Diámetro de la hélice D = 1109 mm

Momento de inercia GD2 = 37,0 kg.m² $\varnothing = 1120 \text{ mm}$ $A = 0,985 \text{ m}^2$



AVR 1250 - 850 RPM

No selecciones en esta zona

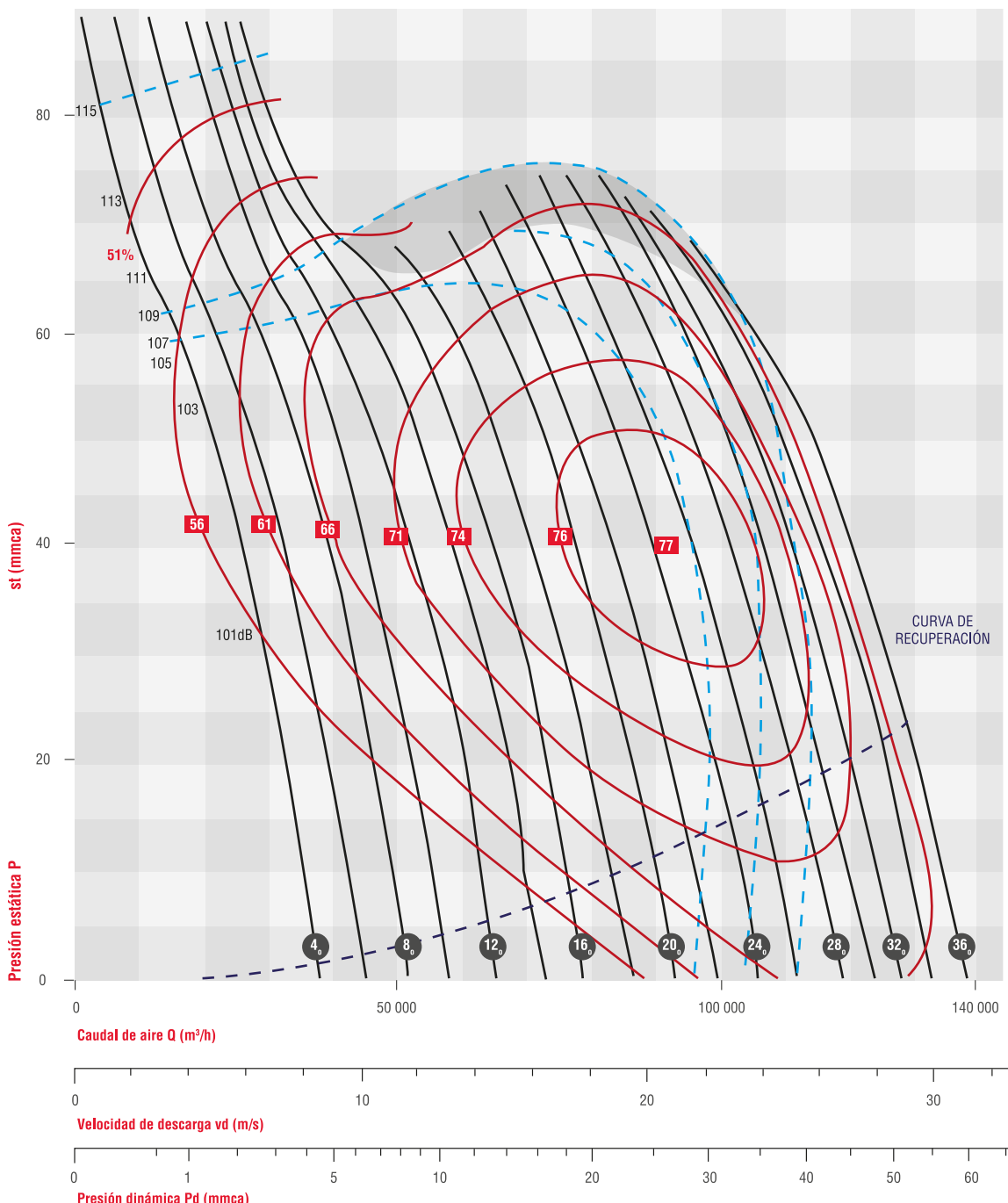
 $\delta = 1,205 \text{ kg/m}^3$ **Potencia absorbida máxima (hp)**

| | | | | | | | | | | | | | | | | |
|------|------|------|------|------|------|------|------|-------|-------|-------|-------|-------|-------|-------|-------|-------|
| 3,51 | 3,87 | 4,57 | 5,28 | 6,33 | 7,39 | 8,09 | 9,50 | 10,55 | 11,96 | 13,72 | 15,12 | 16,53 | 17,94 | 19,70 | 21,46 | 23,22 |
| 4 | 6 | 8 | 10 | 12 | 14 | 16 | 18 | 20 | 22 | 24 | 26 | 28 | 30 | 32 | 34 | 36 |

Ángulo de los álabesDiámetro de la hélice $D = 1236 \text{ mm}$ Momento de inercia $GD^2 = 52,3 \text{ kg.m}^2$  $\theta = 1250 \text{ mm}$ $A = 1,227 \text{ m}^2$

AVR 1250 - 1150 RPM

No selecciones en esta zona

 $\delta = 1,205 \text{ kg/m}^3$
Soler&Palau
 Ventilation Group
**Ángulo de los álabes**

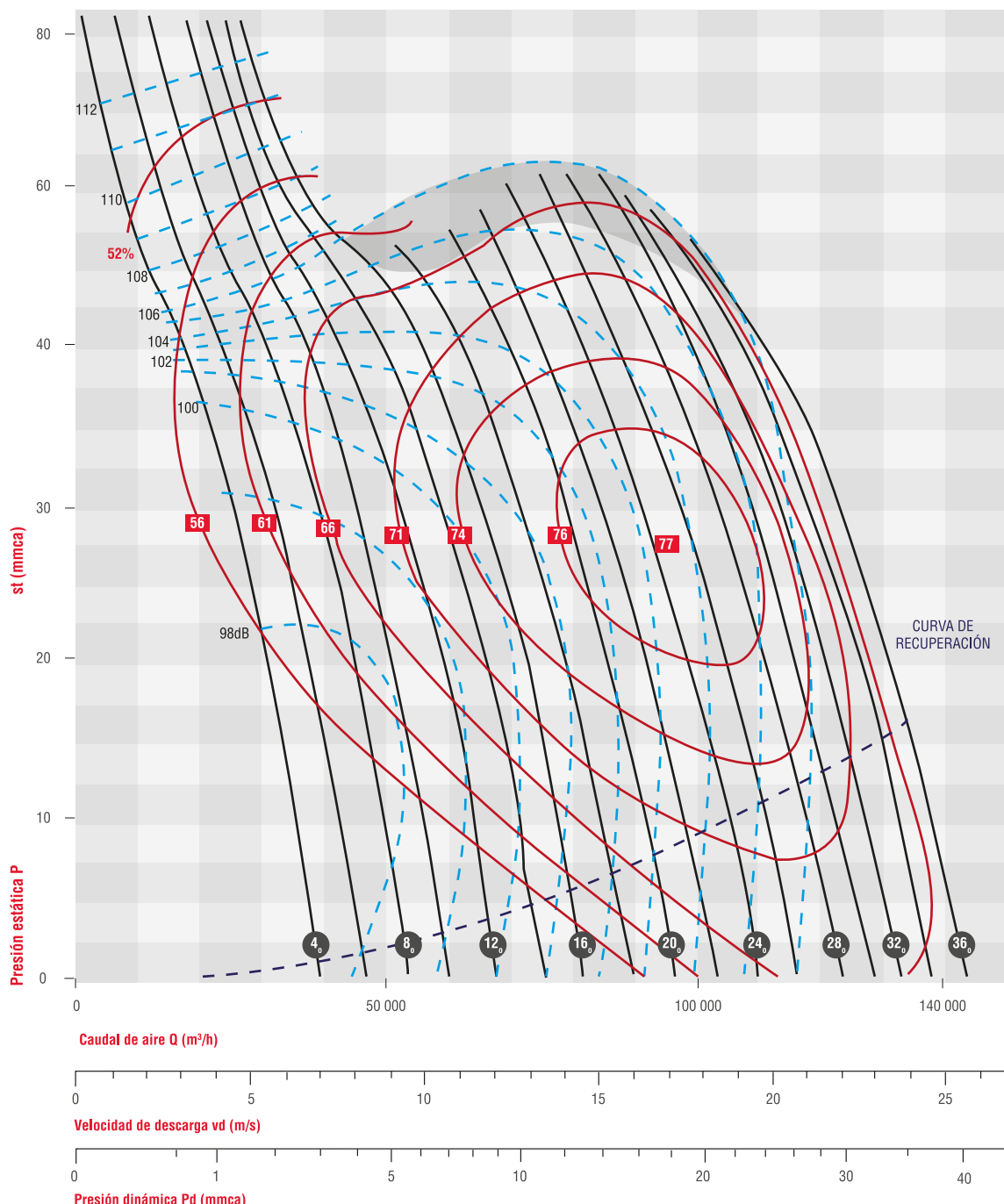
Diámetro de la hélice D = 1236 mm

Momento de inercia GD2 = 52,3 kg.m² $\varnothing = 1250\text{mm}$ $A = 1,227 \text{ m}^2$



AVR 1400 - 850 RPM

No selecciones en esta zona

 $\delta = 1,205 \text{ kg/m}^3$ **Potencia absorbida máxima (hp)**

| | | | | | | | | | | | | | | | | |
|------|------|------|------|-------|-------|-------|-------|-------|-------|-------|-------|-------|-------|-------|-------|-------|
| 6,19 | 6,82 | 8,06 | 9,30 | 11,16 | 13,02 | 14,25 | 16,74 | 18,60 | 21,08 | 24,17 | 26,65 | 29,13 | 31,62 | 34,72 | 37,82 | 40,92 |
| 4 | 6 | 8 | 10 | 12 | 14 | 16 | 18 | 20 | 22 | 24 | 26 | 28 | 30 | 32 | 34 | 36 |

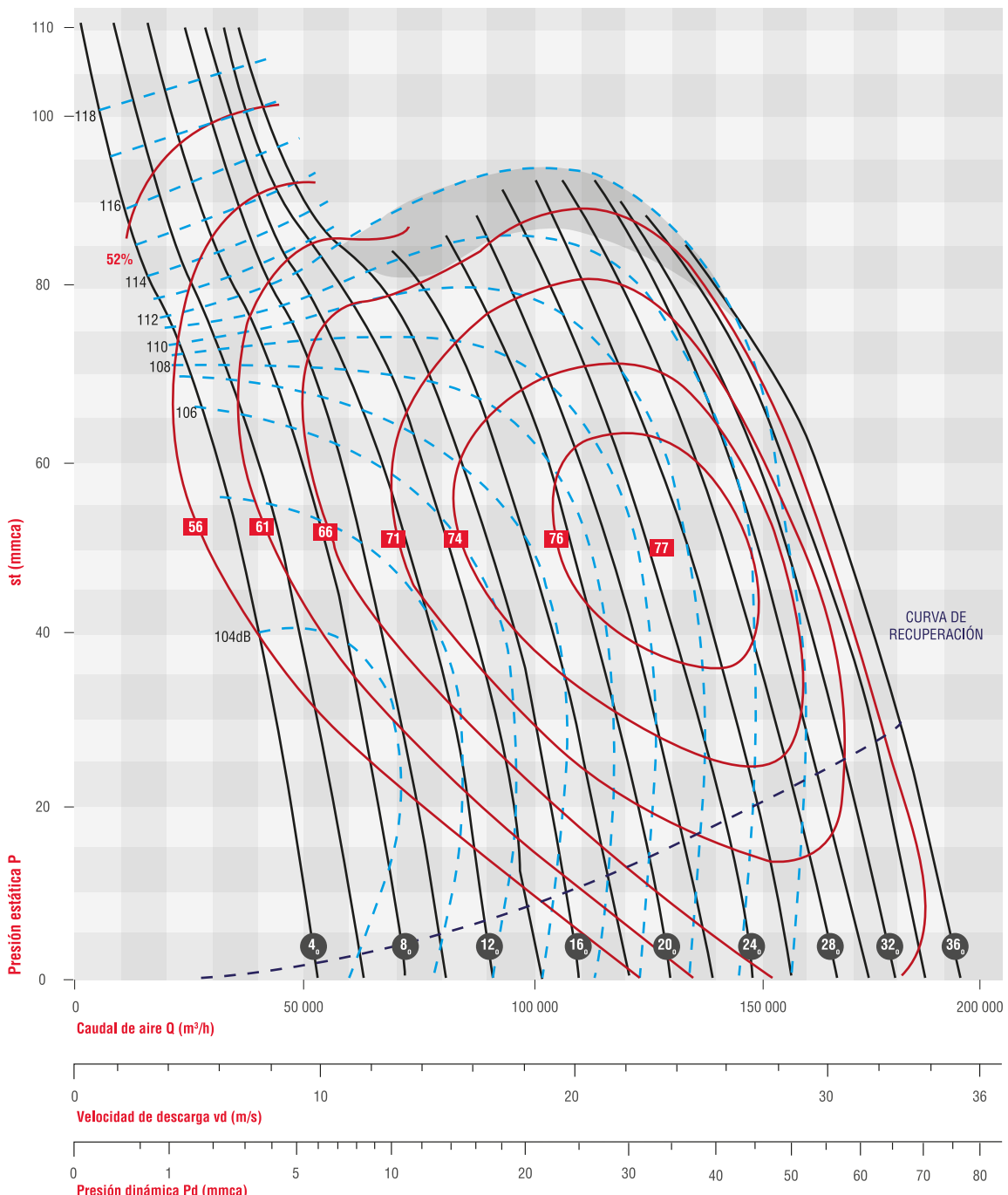
Ángulo de los álabes

Diámetro de la hélice D = 1385 mm

Momento de inercia GD2 = 78,9 kg.m² $\varnothing = 1400\text{mm}$ $A = 1,539 \text{ m}^2$

AVR 1450 - 1150 RPM

No selecciones en esta zona

 $\delta = 1,205 \text{ kg/m}^3$
Soler&Palau
Ventilation Group
**Potencia absorbida máxima (hp)**

| | | | | | | | | | | | | | | | | |
|-------|-------|-------|-------|-------|-------|-------|-------|-------|-------|-------|-------|-------|-------|-------|-------|-------|
| 15,34 | 16,88 | 19,96 | 23,03 | 27,64 | 32,23 | 35,30 | 41,45 | 46,06 | 52,20 | 59,86 | 66,00 | 72,14 | 78,30 | 85,97 | 93,65 | 101,3 |
| 4 | 6 | 8 | 10 | 12 | 14 | 16 | 18 | 20 | 22 | 24 | 26 | 28 | 30 | 32 | 34 | 36 |

Ángulo de los álabes

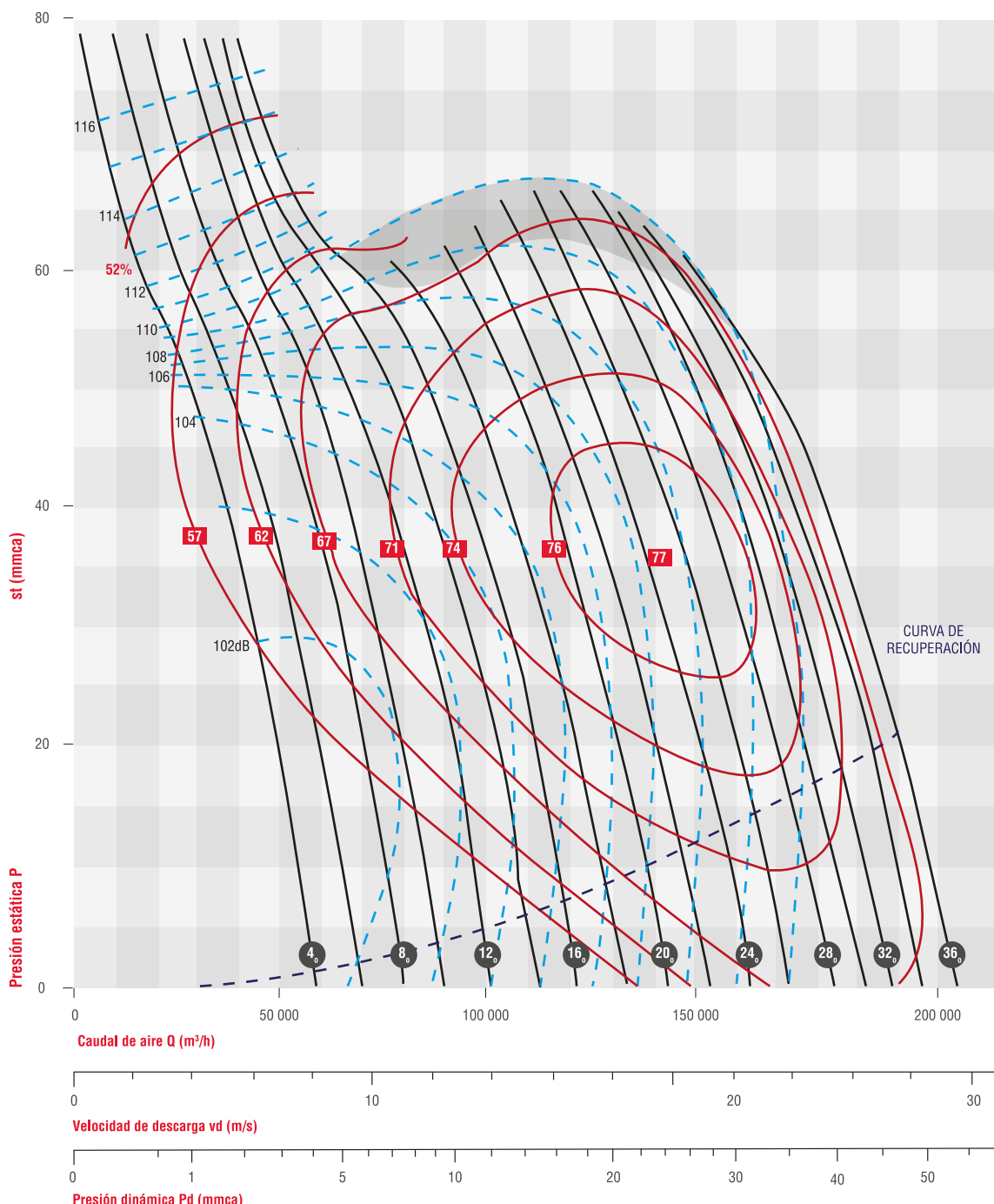
Diámetro de la hélice D = 1385 mm

Momento de inercia GD2 = 78,9 kg.m² $\theta = 1400\text{mm}$ $A = 1,539 \text{ m}^2$

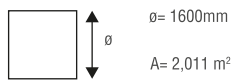


AVR 1600 - 850 RPM

No selecciones en esta zona

 $\delta = 1,205 \text{ kg/m}^3$ **Ángulo de los álabes**

Diámetro de la hélice D = 1586 mm

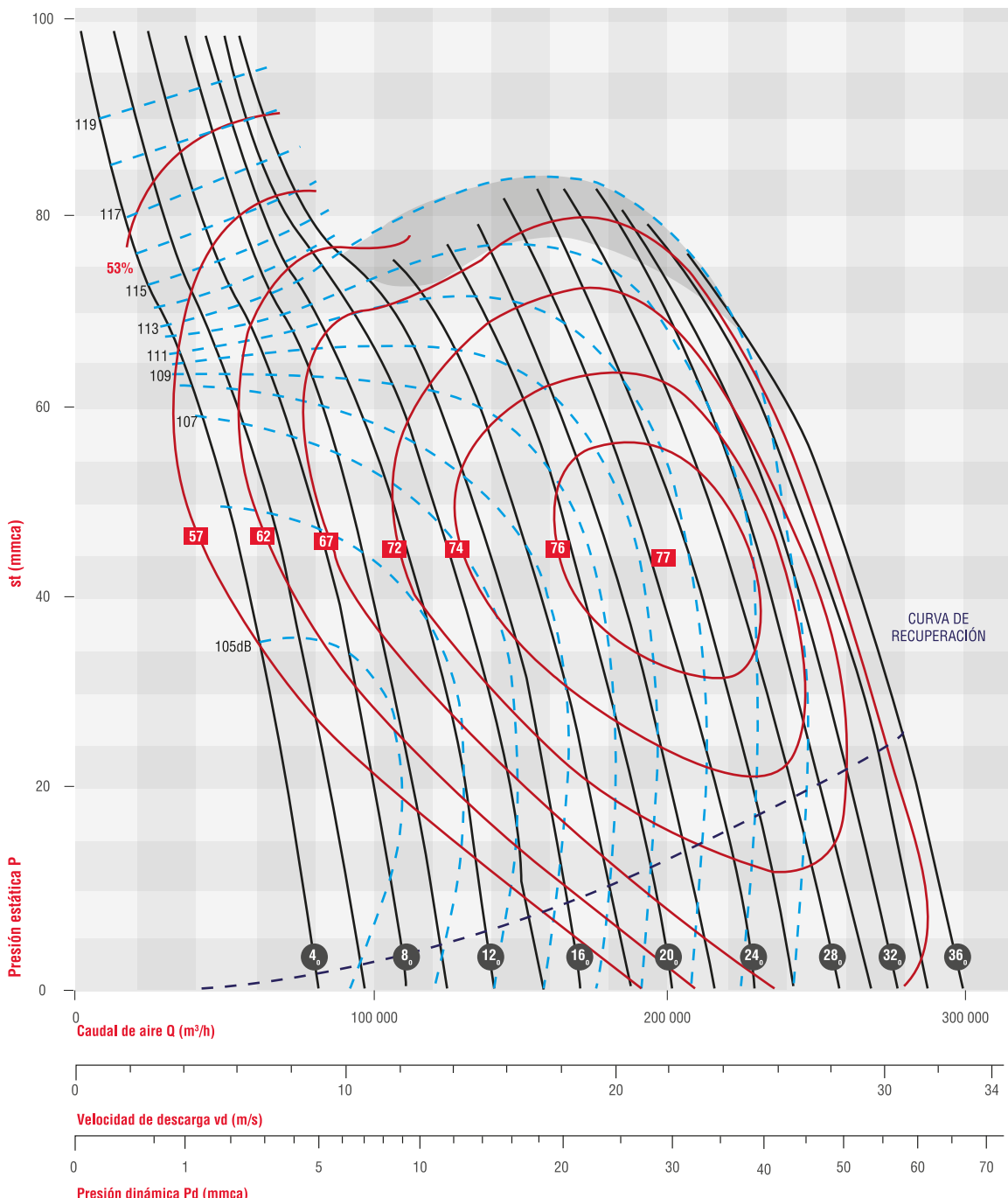
Momento de inercia GD₂ = 131 kg.m²

AVR 1800 - 850 RPM

No selecciones en esta zona

$\delta = 1,205 \text{ kg/m}^3$

Soler&Palau
Ventilation Group



Potencia absorbida máxima (hp)

| | | | | | | | | | | | | | | | | |
|-------|-------|-------|-------|-------|-------|-------|-------|-------|-------|-------|-------|-------|-------|-------|-------|-------|
| 21,76 | 23,95 | 28,32 | 32,67 | 39,21 | 45,73 | 50,08 | 58,81 | 65,35 | 74,05 | 84,92 | 93,65 | 102,4 | 111,1 | 122,0 | 132,9 | 143,8 |
| 4 | 6 | 8 | 10 | 12 | 14 | 16 | 18 | 20 | 22 | 24 | 26 | 28 | 30 | 32 | 34 | 36 |

Ángulo de los álabes

Diámetro de la hélice D = 1780 mm

Momento de inercia Moment of inertia



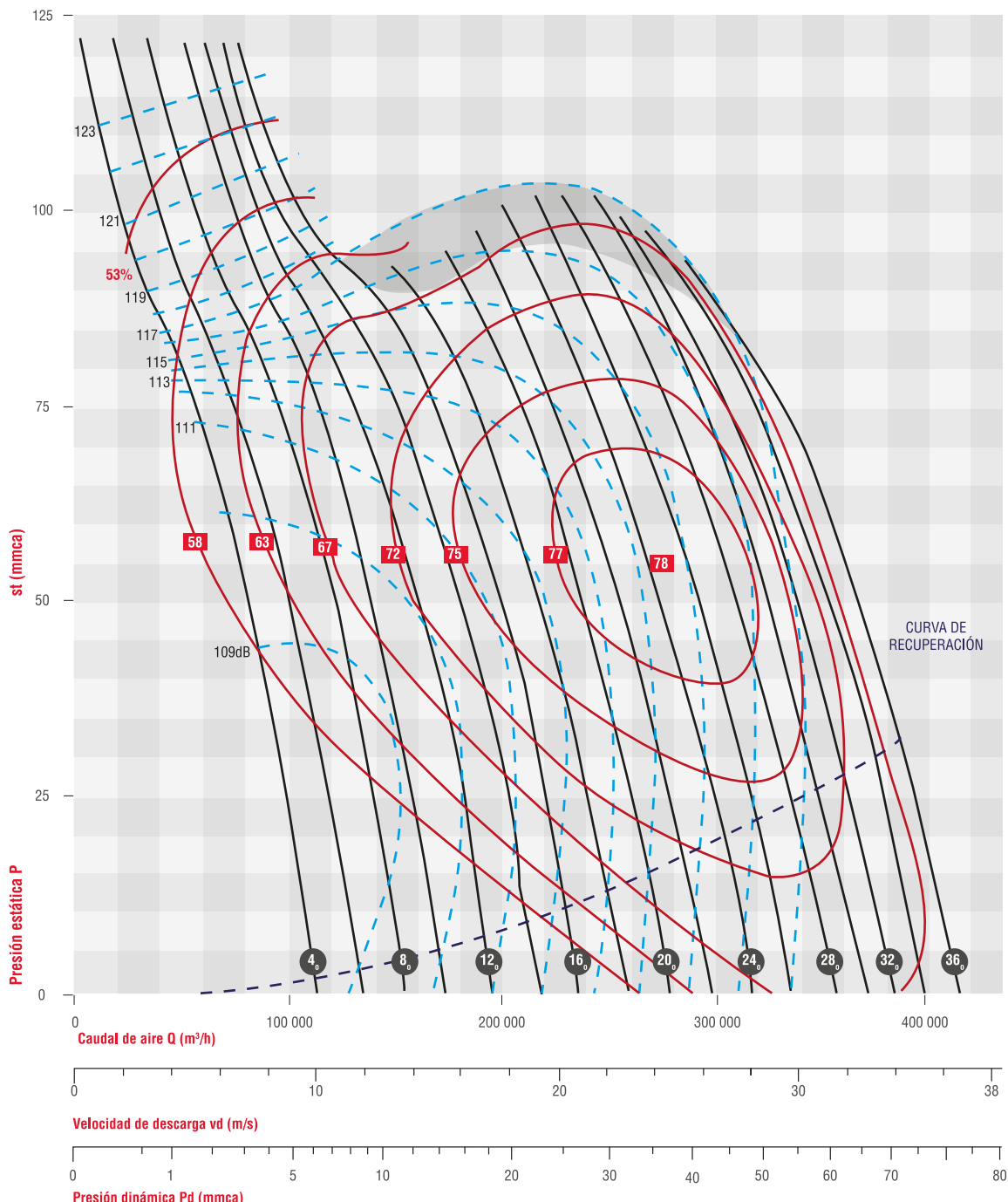
$\theta = 1800\text{mm}$

$A = 2,545 \text{ m}^2$



AVR 2000 - 850 RPM

No selecciones en esta zona

 $\delta = 1,205 \text{ kg/m}^3$ **Potencia absorbida máxima (hp)**

| | | | | | | | | | | | | | | | | |
|-------|-------|-------|-------|-------|-------|-------|-------|-------|-------|-------|-------|-------|-------|-------|-------|-------|
| 36,85 | 40,56 | 47,96 | 55,33 | 66,41 | 77,44 | 84,81 | 99,59 | 110,7 | 125,4 | 143,8 | 158,6 | 173,3 | 188,1 | 206,6 | 225,0 | 243,4 |
| 4 | 6 | 8 | 10 | 12 | 14 | 16 | 18 | 20 | 22 | 24 | 26 | 28 | 30 | 32 | 34 | 36 |

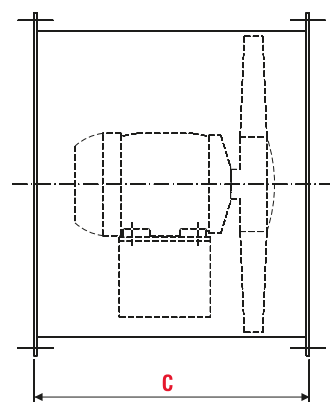
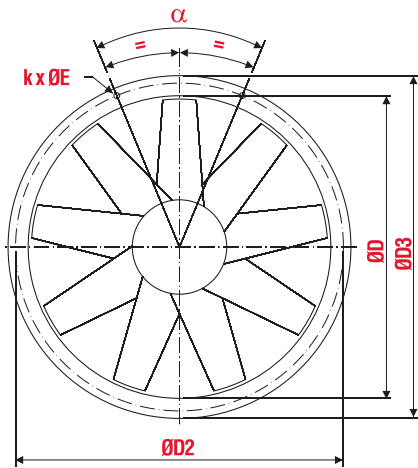
Ángulo de los álabes

Diámetro de la hélice D = 1977 mm

Momento de inercia

 $\varnothing = 2000 \text{ mm}$ $A = 3,142 \text{ m}^2$

Dimensiones

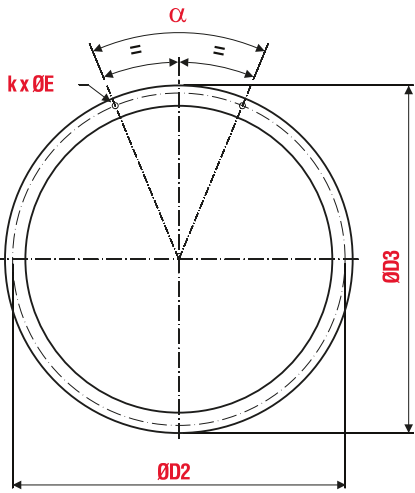


| TAMAÑO | MOTOR STD. | | MOTOR APEX. | | C | ØD | ØD_2 | ØD_3 | $k \times \text{ØE}$ | α |
|--------|------------|----------------|-------------|----------------|------|-------------|---------------|---------------|----------------------|----------|
| | ARMAZON | KG. S/MOTOR | ARMAZON | KG. S/MOTOR | | | | | | |
| 400 | 56 | 23 | 56 | 23 | 355 | 400 | 452 | 480 | 8 X 011 | 45° |
| | 56 | 23 | 56 | 23 | 400 | | | | | |
| | 145T | 28 | 145T | 28 | 450 | | | | | |
| | 145T | 28 | 145T | 28 | 500 | | | | | |
| | 56 | 27 | 56 | 27 | 400 | | | | | |
| 450 | 145T | 29 | 145T | 29 | 450 | 450 | 502 | 530 | 8 X 011 | 45° |
| | 182T | 33 | 182T | 33 | 500 | | | | | |
| | 56 | 30 | 56 | 30 | 400 | | | | | |
| | 145T | 33 | 145T | 33 | 450 | | | | | |
| 500 | 182T | 37 | 182T | 37 | 500 | 500 | 552 | 580 | 8 X 011 | 45° |
| | 184T | 43 | 184T | 43 | 630 | | | | | |
| | 56 | 45 | 56 | 45 | 400 | | | | | |
| | 145T | 49 | 145T | 49 | 450 | | | | | |
| 560 | 182T | 55 | 182T | 55 | 500 | 560 | 612 | 640 | 16 X 011 | 22°30' |
| | 56 | 52 | 56 | 52 | 400 | | | | | |
| | 145T | 56 | 145T | 56 | 450 | | | | | |
| | 182T | 63 | 182T | 63 | 500 | | | | | |
| 630 | 56 | 68 | 68 | 68 | 400 | 632 | 684 | 712 | 16 X 011 | 22°30' |
| | 145T | 76 | 145T | 76 | 560 | | | | | |
| | 182T | 84 | 182T | 84 | 630 | | | | | |
| | 184T | 90 | 184T | 90 | 500 | | | | | |
| 710 | 145T | 90 | 145T | 90 | 560 | 710 | 780 | 816 | 16 X 011 | 22°30' |
| | 182T | 99 | 182T | 99 | 630 | | | | | |
| | 184T | 107 | 184T | 107 | 800 | | | | | |
| | 213T | 127 | 213T | 127 | 560 | | | | | |
| 800 | 182T | 125 | 182T | 125 | 630 | 800 | 870 | 906 | 16 X 014 | 22°30' |
| | 184T | 135 | 184T | 135 | 800 | | | | | |
| | 215T | 157 | 215T | 157 | 900 | | | | | |
| | 254T | 175 | 254T | 175 | 630 | | | | | |
| 900 | 215T | 176 | 215T | 176 | 800 | 900 | 970 | 1006 | 16 X 014 | 22°30' |
| | 254T | 208 | 254T | 208 | 900 | | | | | |
| | 256T | 232 | 256T | 232 | 1000 | | | | | |
| | 284T | 257 | 284T | 257 | 710 | | | | | |
| 1120 | 254T | 231 | 254T | 231 | 800 | 1120 | 1191 | 1227 | 24 X 014 | 15° |
| | 256T | 252 | 256T | 252 | 900 | | | | | |
| | 284T | 281 | 284T | 281 | 1000 | | | | | |
| | 286T | 309 | 286T | 309 | 800 | | | | | |
| 1250 | 284T | 284 | 284T | 284 | 900 | 1247 | 1321 | 1357 | 24 X 014 | 15° |
| | 286T | 316 | 286T | 316 | 1000 | | | | | |
| | 326T | 384 | 326T | 384 | 1120 | | | | | |
| | 384T | 427 | 384T | 427 | 800 | | | | | |
| 1400 | 256T | 370 | 256T | 370 | 900 | 1397 | 1503 | 1559 | 24 X 016 | 15° |
| | 284T | 397 | 284T | 397 | 1000 | | | | | |
| | 384T | 460 | 384T | 460 | 1120 | | | | | |
| | 386T | 507 | 386T | 507 | 1250 | | | | | |
| 1600 | 256T | 523 | 256T | 523 | 900 | 1600 | 1706 | 1762 | 32 X 016 | 11°15' |
| | 284T | 591 | 284T | 591 | 1000 | | | | | |
| | 286T | 639 | 286T | 639 | 1120 | | | | | |
| | 404/5T | 714 | 404/5T | 714 | 1250 | | | | | |
| 1800 | 324T | 622 | 324T | 622 | 1000 | 1800 | 1906 | 1962 | 32 X 016 | 11°15' |
| | 326T | 683 | 326T | 683 | 1120 | | | | | |
| | 404/5T | 763 | 404/5T | 763 | 1250 | | | | | |
| | 444/5T | 779 | 444/5T | 779 | 1400 | | | | | |
| 2000 | 324T | 690 | 324T | 690 | 1000 | 1997 | 2106 | 2162 | 32 X 016 | 11°15' |
| | 326T | 758 | 326T | 758 | 1120 | | | | | |
| | 444/5T | 817 | 444/5T | 817 | 1250 | | | | | |
| | 447T | 865 | 447T | 865 | 1400 | | | | | |



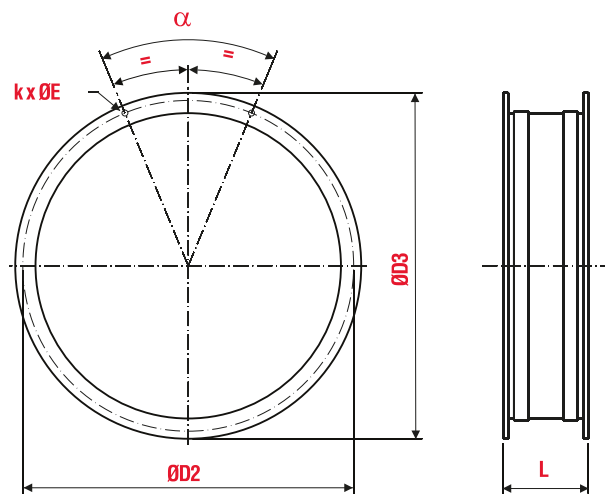
Accesories

CONTRABRIDA



| TAMAÑO | ØD2 | ØD3 | k x ØE | α | Peso (kgf) |
|--------|------|------|----------|--------|------------|
| 400 | 452 | 480 | 8 X Ø11 | 45° | 1,4 |
| 450 | 502 | 530 | 8 X Ø11 | 45° | 1,6 |
| 500 | 552 | 580 | 8 X Ø11 | 45° | 2,4 |
| 560 | 612 | 640 | 16 X Ø11 | 22°30' | 2,7 |
| 630 | 684 | 712 | 16 X Ø11 | 22°30' | 3,0 |
| 710 | 780 | 816 | 16 X Ø14 | 22°30' | 4,5 |
| 800 | 870 | 906 | 16 X Ø14 | 22°30' | 5,1 |
| 900 | 970 | 1006 | 16 X Ø14 | 22°30' | 5,7 |
| 1000 | 1070 | 1106 | 16 X Ø14 | 22°30' | 6,3 |
| 1120 | 1191 | 1227 | 24 X Ø14 | 15° | 9,3 |
| 1250 | 1321 | 1357 | 24 X Ø14 | 15° | 10,3 |
| 1400 | 1503 | 1559 | 24 X Ø16 | 15° | 17,5 |
| 1600 | 1706 | 1762 | 32 X Ø16 | 11°15' | 19,9 |
| 1800 | 1906 | 1962 | 32 X Ø16 | 11°15' | 33,6 |
| 2000 | 2106 | 2162 | 32 X Ø16 | 11°15' | 37,1 |

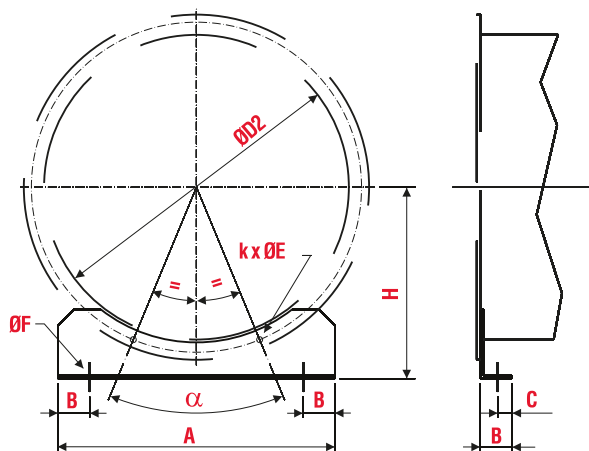
CONEXIÓN FLEXIBLE



| TAMAÑO | ØD2 | ØD3 | k x ØE | α | L | Peso (kgf) |
|--------|------|------|----------|--------|-----|------------|
| 400 | 452 | 480 | 8 X Ø11 | 45° | 120 | 4,7 |
| 450 | 502 | 530 | 8 X Ø11 | 45° | 120 | 5,3 |
| 500 | 552 | 580 | 8 X Ø11 | 45° | 120 | 7,2 |
| 560 | 612 | 640 | 16 X Ø11 | 22°30' | 120 | 8,1 |
| 630 | 684 | 712 | 16 X Ø11 | 22°30' | 120 | 9,1 |
| 710 | 780 | 816 | 16 X Ø14 | 22°30' | 150 | 13,3 |
| 800 | 870 | 906 | 16 X Ø14 | 22°30' | 150 | 14,9 |
| 900 | 970 | 1006 | 16 X Ø14 | 22°30' | 150 | 16,7 |
| 1000 | 1070 | 1106 | 16 X Ø14 | 22°30' | 150 | 18,4 |
| 1120 | 1191 | 1227 | 24 X Ø14 | 15° | 150 | 24,9 |
| 1250 | 1321 | 1357 | 24 X Ø14 | 15° | 180 | 28,3 |
| 1400 | 1503 | 1559 | 24 X Ø16 | 15° | 180 | 43,7 |
| 1600 | 1706 | 1762 | 32 X Ø16 | 11°15' | 180 | 49,7 |
| 1800 | 1906 | 1962 | 32 X Ø16 | 11°15' | 220 | 72,8 |
| 2000 | 2106 | 2162 | 32 X Ø16 | 11°15' | 220 | 80,6 |

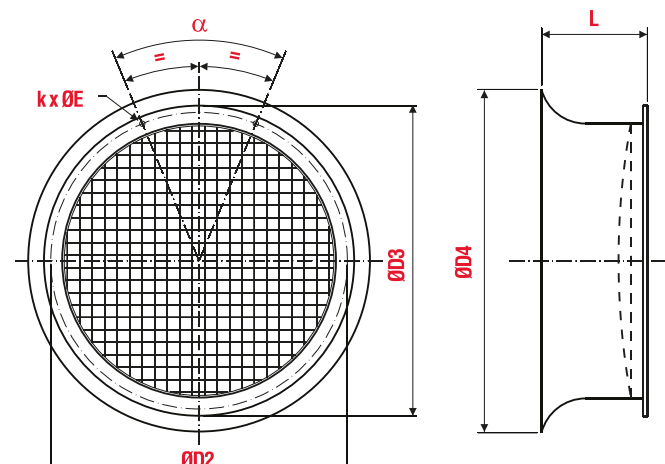
Accesorios

SOPORTE DE MONTAJE HORIZONTAL



| TAMAÑO | A | B | C | ØD2 | n x ØE | α | ØF | H | Peso/pç (kgf) |
|--------|------|-----|----|------|---------|--------|----|------|---------------|
| 400 | 400 | 50 | 25 | 452 | 2 X Ø11 | 45° | 11 | 290 | 1,5 |
| 450 | 450 | 50 | 25 | 502 | 2 X Ø11 | 45° | 11 | 315 | 2,4 |
| 500 | 500 | 50 | 25 | 552 | 2 X Ø11 | 45° | 11 | 340 | 2,8 |
| 560 | 560 | 50 | 25 | 612 | 4 X Ø11 | 22°30' | 11 | 370 | 3,2 |
| 630 | 630 | 50 | 25 | 684 | 4 X Ø11 | 22°30' | 11 | 406 | 3,7 |
| 710 | 710 | 75 | 38 | 780 | 4 X Ø14 | 22°30' | 14 | 483 | 5,9 |
| 800 | 800 | 75 | 38 | 870 | 4 X Ø14 | 22°30' | 14 | 528 | 6,8 |
| 900 | 900 | 75 | 38 | 970 | 4 X Ø14 | 22°30' | 14 | 578 | 10,3 |
| 1000 | 1000 | 75 | 38 | 1070 | 4 X Ø14 | 22°30' | 14 | 628 | 11,7 |
| 1120 | 1120 | 100 | 50 | 1191 | 6 X Ø14 | 15° | 14 | 713 | 17,9 |
| 1250 | 1250 | 100 | 50 | 1321 | 6 X Ø14 | 15° | 14 | 778 | 20,3 |
| 1400 | 1400 | 100 | 50 | 1503 | 6 X Ø16 | 15° | 14 | 878 | 31,0 |
| 1600 | 1600 | 100 | 50 | 1706 | 8 X Ø16 | 11°15' | 18 | 980 | 36,5 |
| 1800 | 1800 | 127 | 64 | 1906 | 8 X Ø16 | 11°15' | 18 | 1100 | 57,9 |
| 2000 | 2000 | 127 | 64 | 2106 | 8 X Ø16 | 11°15' | 18 | 1200 | 65,8 |

CONO DE ASPIRACIÓN



| TAMAÑO | ØD2 | ØD3 | ØD4 | kxØE | α | L | Peso (kgf) |
|--------|------|------|------|----------|--------|-----|------------|
| 400 | 452 | 480 | 475 | 8 X Ø11 | 45° | 120 | 3,7 |
| 450 | 502 | 530 | 535 | 8 X Ø11 | 45° | 125 | 4,4 |
| 500 | 552 | 580 | 595 | 8 X Ø11 | 45° | 135 | 5,8 |
| 560 | 612 | 640 | 665 | 16 X Ø11 | 22°30' | 140 | 6,7 |
| 630 | 684 | 712 | 750 | 16 X Ø11 | 22°30' | 150 | 7,9 |
| 710 | 780 | 816 | 845 | 16 X Ø14 | 22°30' | 170 | 12,3 |
| 800 | 870 | 906 | 950 | 16 X Ø14 | 22°30' | 180 | 14,5 |
| 900 | 970 | 1006 | 1070 | 16 X Ø14 | 22°30' | 190 | 17,1 |
| 1000 | 1070 | 1106 | 1185 | 16 X Ø14 | 22°30' | 200 | 19,8 |
| 1120 | 1191 | 1227 | 1330 | 24 X Ø14 | 15° | 235 | 31,3 |
| 1250 | 1321 | 1357 | 1485 | 24 X Ø14 | 15° | 255 | 44,9 |
| 1400 | 1503 | 1559 | 1660 | 24 X Ø16 | 15° | 270 | 58,9 |
| 1600 | 1706 | 1762 | 1900 | 32 X Ø16 | 11°15' | 295 | 74,5 |
| 1800 | 1906 | 1962 | 2135 | 32 X Ø16 | 11°15' | 335 | 101,1 |
| 2000 | 2106 | 2162 | 2375 | 32 X Ø16 | 11°15' | 360 | 117,6 |

www.soler-palau.mx



S&P México

Bvd. A-15m, Parque Industrial Puebla 2000
Puebla, Pue. México C.P. 72225
Tel. 52 (222) 2 233 911, 2 233 900
comercialmx@solerpalau.com

S&P Colombia

Autopista Medellín km 2.7 Parque Industrial
Los Nogales Bodega 10
Cota, Cundinamarca, Colombia
PBX: (+571) 743 8021
comercial@solerpalau.com.co

S&P Perú

Avenida Minerales No. 815
Lima, Perú
Tel. +51 (1) 200 9020
comercialpe@solerpalau.com